

Video



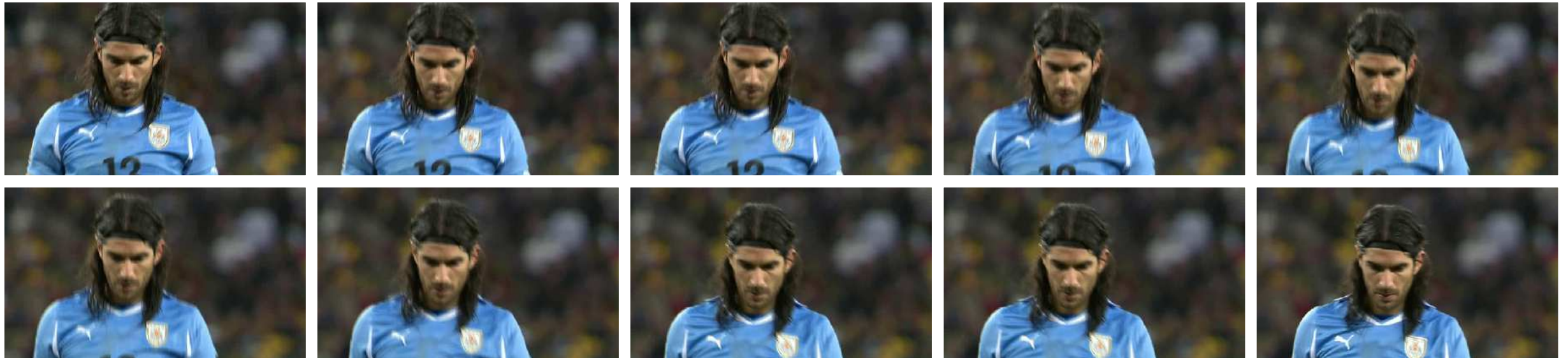
UNIVERSIDAD
DE LA REPÚBLICA
URUGUAY

Agenda

- Flujo óptico
- Compresión de video
- Background subtraction



Video



- Secuencia de imágenes
- Muestreo temporal
 - Ancho de banda
 - Redundancia
 - **Movimiento**

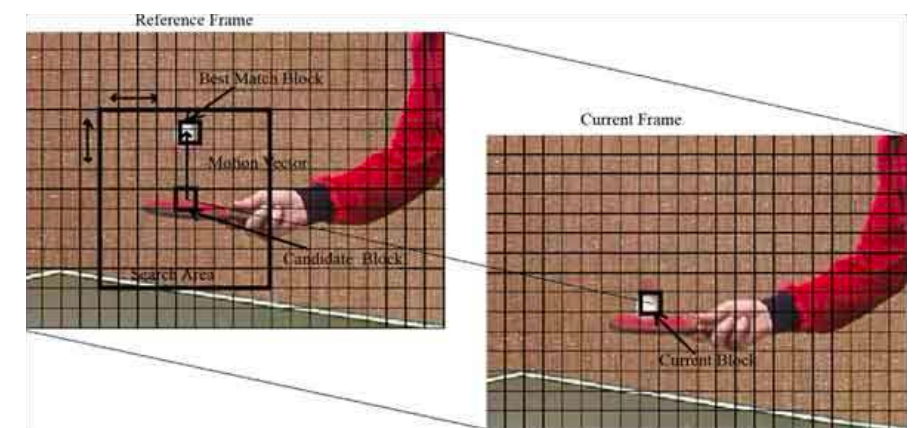


Diferencia entre dos cuadros consecutivos

Vectores de movimiento entre cuadros

Estimación de movimiento

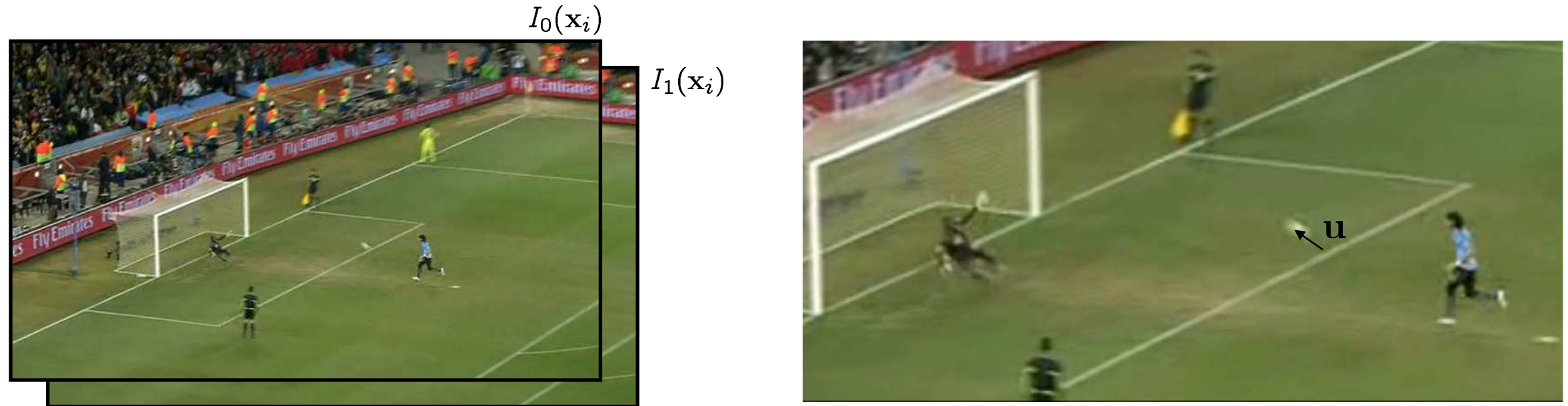
- Una de las aplicaciones más estudiadas en computer vision.
- Aplicaciones:
 - Registrado (alineación) de imágenes
 - Estabilización de imágenes en cámaras (IS)
 - Compresión de video
 - Detección de objetos
 - *Structure from motion*



Flujo óptico

Estimación de movimiento

- Movimiento aparente de los pixeles/objetos en una secuencia de imágenes



- Se **asume** que localmente la intensidad se conserva

- Brightness constancy constrain* $I_1(\mathbf{x} + \mathbf{u}) = I_0(\mathbf{x})$

- Buscamos el desplazamiento $\mathbf{u}=(u,v)$

- El error cometido es

$$E = \sum_i d(I_1(\mathbf{x} + \mathbf{u}), I_0(\mathbf{x}))$$

con alguna métrica d .

Estimación de movimiento

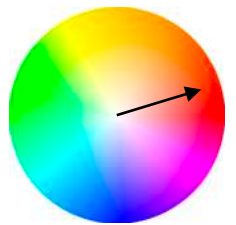
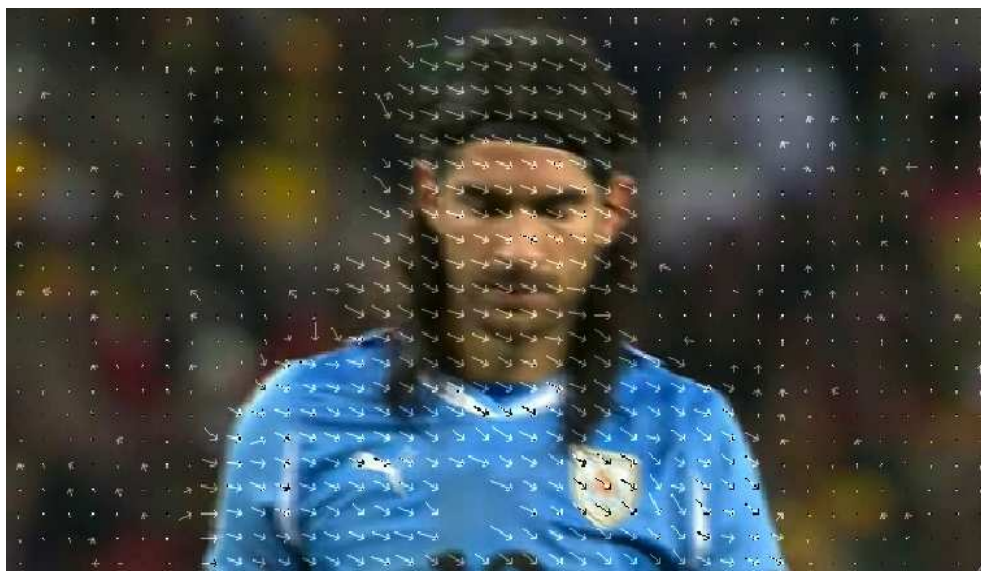
$$E = \sum_i d(I_1(\mathbf{x} + \mathbf{u}), I_0(\mathbf{x}))$$

- Algunas opciones para d
 - Distancia euclídea (LSE, SSD), l_2 : $E_{\text{SSD}} = \sum_i (I_1(\mathbf{x} + \mathbf{u}) - I_0(\mathbf{x}))^2$
 - Sum absolute differences (SAD), l_1 : $E_{\text{SAD}} = \sum_i |I_1(\mathbf{x} + \mathbf{u}) - I_0(\mathbf{x})|$
 - Median absolute differences (MAD): $E_{\text{MAD}} = \text{mediana}_i(|I_1(\mathbf{x} + \mathbf{u}) - I_0(\mathbf{x})|)$
- Distancias robustas: $\rho_{GM}(x) = \frac{x^2}{1 + \frac{x^2}{a^2}}$
- Con pesos: $E_{\text{WSSD}} = \sum_i w_0(\mathbf{x})w_1(\mathbf{x} + \mathbf{u})(I_1(\mathbf{x} + \mathbf{u}) - I_0(\mathbf{x}))^2$
- Correlación: $E_{\text{NCC}} = \sum_i I_1(\mathbf{x} + \mathbf{u})I_0(\mathbf{x})$

Estimación de movimiento

- También se **asume** que las variaciones locales son suaves
 - Pixeles vecinos tiene un desplazamiento similar

$$\mathbf{u}_p = \mathbf{u}_n \quad n \in G(p)$$



código de color para el vector de movimiento

Flujo óptico

- Brightness constancy constrain $I(x + dx, y + dy, t + dt) = I(x, y, t)$
- Con la siguiente aproximación (Taylor)

$$I(x + dx, y + dy, t + dt) \approx I(x, y, t) + dx \frac{\partial}{\partial x} I(x, y, t) + dy \frac{\partial}{\partial y} I(x, y, t) + dt \frac{\partial}{\partial t} I(x, y, t)$$

tenemos que

$$dx \frac{\partial}{\partial x} I(x, y, t) + dy \frac{\partial}{\partial y} I(x, y, t) = -dt \frac{\partial}{\partial t} I(x, y, t)$$

y llamando

$$u = dx, I_x = \frac{\partial}{\partial x} I(x, y, t), v = dy, I_y = \frac{\partial}{\partial y} I(x, y, t), dt = 1, I_t = \frac{\partial}{\partial t} I(x, y, t)$$

llegamos a la *ecuación de restricción de flujo óptico*

$$uI_x + vI_y = -I_t$$

- Se **asumió** que: se conserva la intensidad (con errores gaussianos), el flujo es pequeño y suave, la imagen es diferenciable y Taylor es una buena aproximación.

Flujo óptico de Horn y Schunck

- Introduce una restricción de **suavidad** del FO sobre las variaciones de $\mathbf{u}(x, y) = (u, v)$

$$\|\nabla u\|^2 + \|\nabla v\|^2$$

- Plantea la minimización de un funcional

$$E = \iint (I_x u + I_y v + I_t)^2 + \alpha^2 (\|\nabla u\|^2 + \|\nabla v\|^2) \, dx \, dy$$

- Define un sistema de ecuaciones con (u, v) incógnitas

$$(I_x u + I_y v + I_t) I_x + \alpha^2 \Delta u = 0$$

$$(I_x u + I_y v + I_t) I_y + \alpha^2 \Delta v = 0$$

- Usando una aproximación discreta del Laplaciano permite escribir un sistema matricial en *cada pixel* $\Delta u = \kappa(u - \bar{u})$

$$\begin{bmatrix} I_x^2 + \lambda & I_x I_y \\ I_x I_y & I_y^2 + \lambda \end{bmatrix} \begin{bmatrix} u \\ v \end{bmatrix} = \begin{bmatrix} \lambda \bar{u} - I_t I_x \\ \lambda \bar{v} - I_t I_y \end{bmatrix}$$

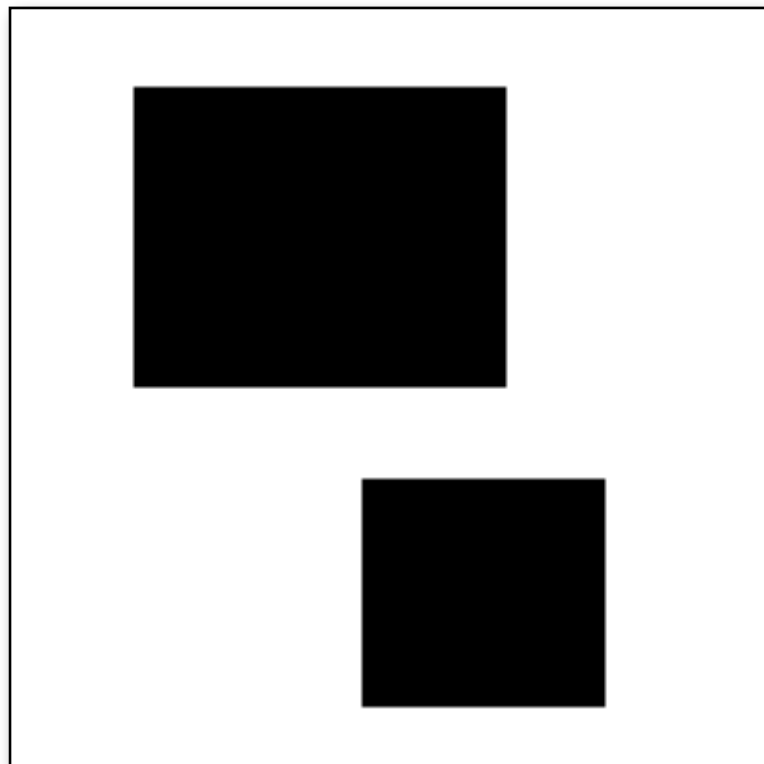
$$A\mathbf{u} = b$$

Flujo óptico de Horn y Schunck

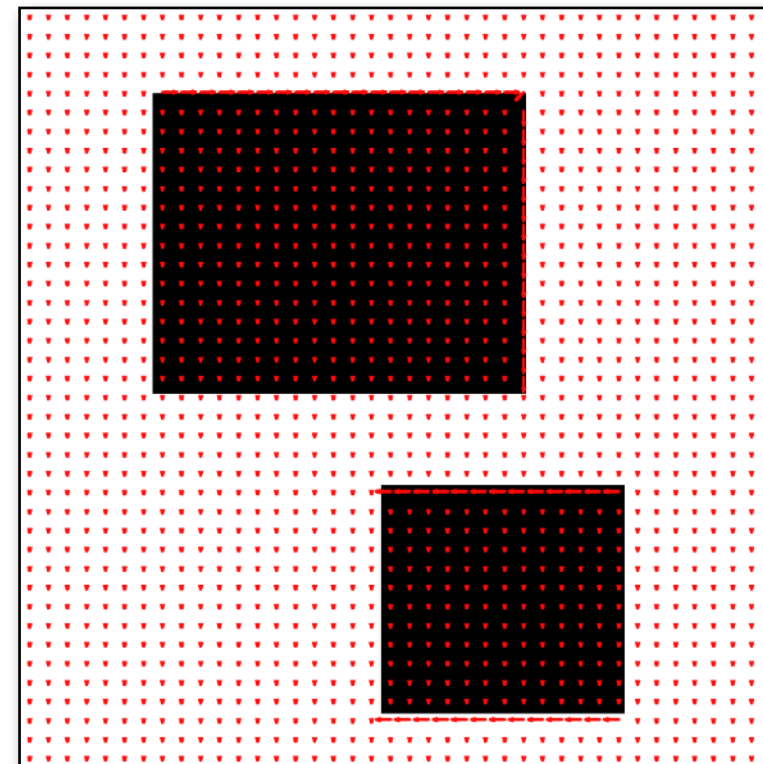
- El cálculo depende del vecindario para suavizar la solución (mediante (\bar{u}, \bar{v}))
 - Se resuelve de forma iterativa, iniciando con $\mathbf{u}^{(0)} = \mathbf{0}$

$$u^{(k+1)} = \bar{u}^{(k)} - I_x \frac{I_x \bar{u}^{(k)} + I_y \bar{v}^{(k)} + I_t}{\lambda + I_x^2 + I_y^2}$$

$$v^{(k+1)} = \bar{v}^{(k)} - I_y \frac{I_x \bar{u}^{(k)} + I_y \bar{v}^{(k)} + I_t}{\lambda + I_x^2 + I_y^2}$$



Secuencia de dos imágenes



Iteraciones 1, 10 100 y 500 de Horn-Schunck

Flujo óptico de Lucas y Kanade

- Plantea el problema de FO dividiendo la imagen en *patches* y considerando el FO constante cada *patch*

- En cada patch vale

$$I_x(\mathbf{x}_1)u + I_y(\mathbf{x}_1)v = -I_t(\mathbf{x}_1)$$

$$I_x(\mathbf{x}_2)u + I_y(\mathbf{x}_2)v = -I_t(\mathbf{x}_2)$$

⋮

$$I_x(\mathbf{x}_n)u + I_y(\mathbf{x}_n)v = -I_t(\mathbf{x}_n)$$

- Podemos escribirlo matricialmente como $A\mathbf{u} = b$

$$\begin{bmatrix} I_x(\mathbf{x}_1) & I_y(\mathbf{x}_1) \\ I_x(\mathbf{x}_2) & I_y(\mathbf{x}_2) \\ \vdots & \vdots \\ I_x(\mathbf{x}_n) & I_y(\mathbf{x}_n) \end{bmatrix} \begin{bmatrix} u \\ v \end{bmatrix} = \begin{bmatrix} -I_t(\mathbf{x}_1) \\ -I_t(\mathbf{x}_2) \\ \vdots \\ -I_t(\mathbf{x}_n) \end{bmatrix}$$

- Puede resolverse usando la pseudo inversa

$$\mathbf{u} = (A^T A)^{-1} A^T b$$

- Puede incluir una matriz W de pesos

$$\mathbf{u} = (A^T W A)^{-1} A^T W b$$

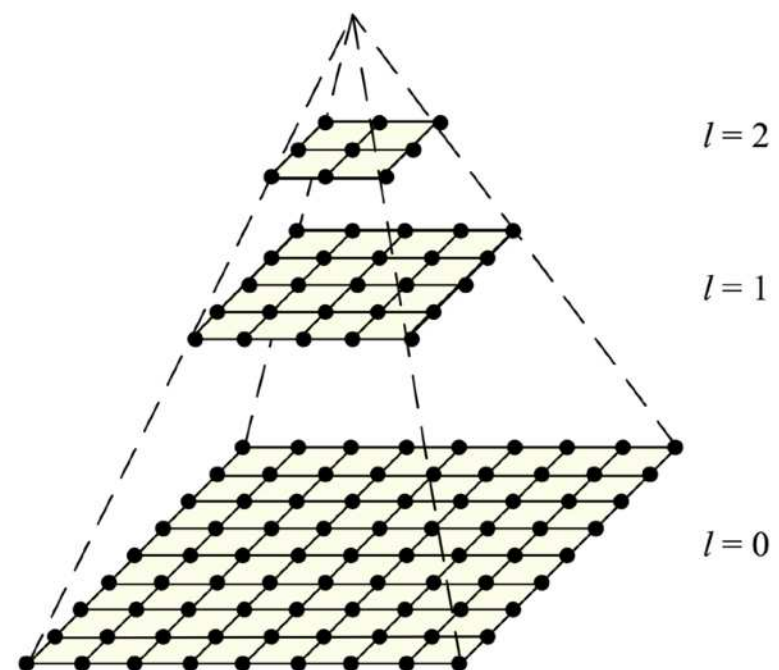
Flujo óptico de Lucas y Kanade

- Combinado con algún selector de puntos de interés permite seguirlos.



- Seguimiento de movimientos grandes creando una pirámide y buscando primero en niveles gruesos

- Submuestreo: $I_k^{(l)}(\mathbf{x}_j) \leftarrow \tilde{I}_k^{(l-1)}(2\mathbf{x}_j)$
- Búsqueda: $\mathbf{u}^{(l)}$
- Predicción: $\hat{\mathbf{u}}^{(l-1)} \leftarrow 2\mathbf{u}^{(l)}$



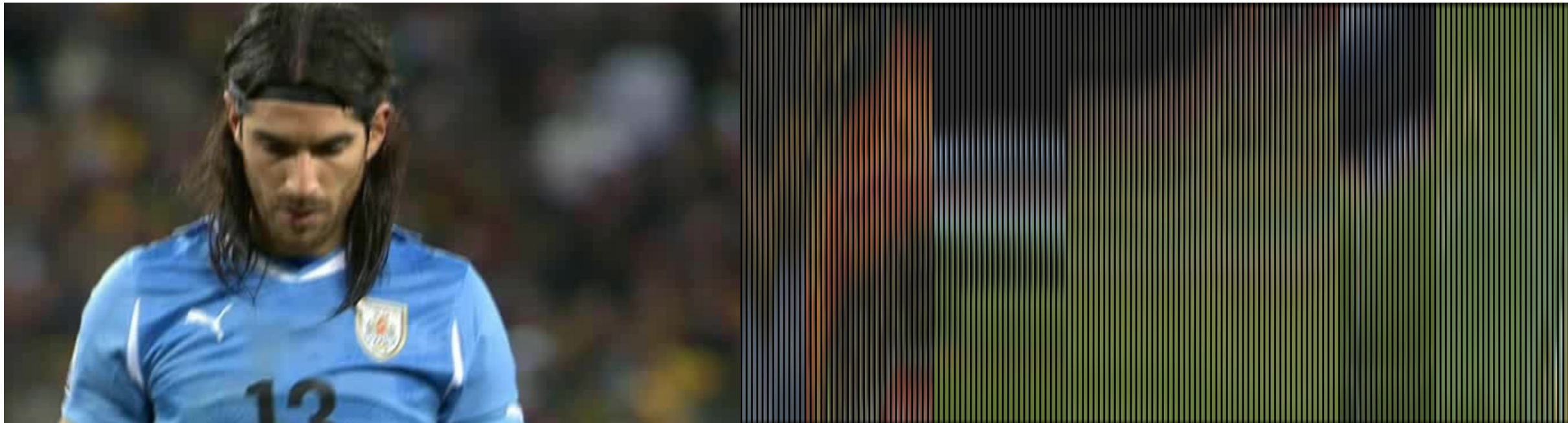
40 años de flujo óptico

- Uno de los temas de mayor investigación en video
- Variantes: robusto, 3D, múltiples cuadros, alto/bajo frame-rate, gradient-based, iterativo, grueso-fino, modelos de movimiento, en capas, probabilísticos,
- Benchmarks de comparación
 - Middlebury Computer Vision benchmark (<http://vision.middlebury.edu/flow/>)
 - MPI Sintel benchmark (<http://sintel.is.tue.mpg.de/>)
 - KITTI Flow 2015 evaluation (<http://www.cvlibs.net/datasets/kitti/>)
 - Heidelberg HD1K Flow benchmark (<http://hci-benchmark.org/flow/>)
 - Robust Vision Challenge 2018 (<http://www.robustvision.net/>)

	Stereo	MVS	Flow	Depth	Semantic	Instance
Middlebury	x	x	x			
KITTI	x		x	x	x	x
MPI Sintel			x			
ETH3D	x	x				
HD1K			x			
ScanNet				x	x	x
Cityscapes					x	x
WildDash					x	x

Codificación de video

Codificación de video



765 cuadros individuales: 288.543.232 bytes (288.064.673 bytes zipeados)



Video MPEG-4: 3.139.697 bytes



Video MPEG-4: 887.947 bytes

Codificación de video

- Reescribir
- Codificación **sin pérdidas** (*lossless*) o **con pérdidas** (*lossy*)
 - ¿Qué descartar? Sistema visual **humano**
 - ¿Cómo hacerlo? Descripción del **decodificador**.
- Adaptación a un cierto **estándar** (ISO/IEC: Moving Picture Experts Group (MPEG1, MPEG2, MPEG4, ...), ITU: H.26x, VPx (google), ...)
- Redundancia **espacial** y **temporal**
 - Movimiento de objetos/cámara
 - Proyección 3D a 2D: movimiento aparente
 - Estimación y compensación de movimiento
 - Predicción y codificación de diferencias

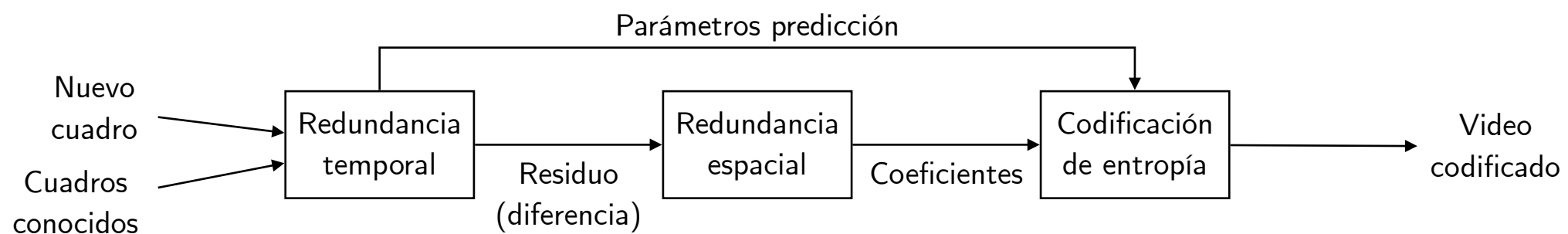
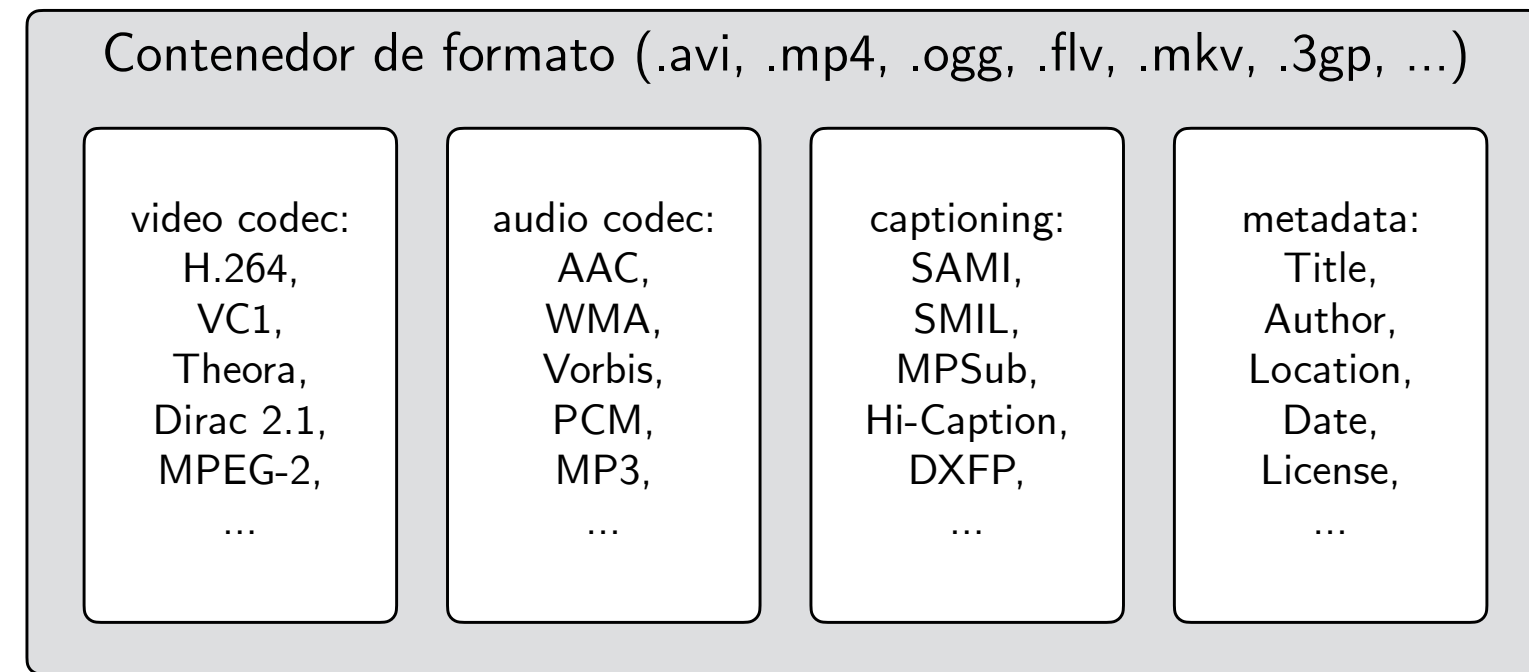


Diagrama conceptual de un codificador de video.

Archivos (contenedores) de video



AVI: Windows Professional

MOV: Mac

MKV: Open Source

MPEG or MPG: MPEG group

FLV: Flash video

MP4: MPEG group

MTS or TS: Transport Stream

MXF: Material Exchange Format

WMV: Windows Consumer

VOB: DVDs

R3D: Redcode RAW

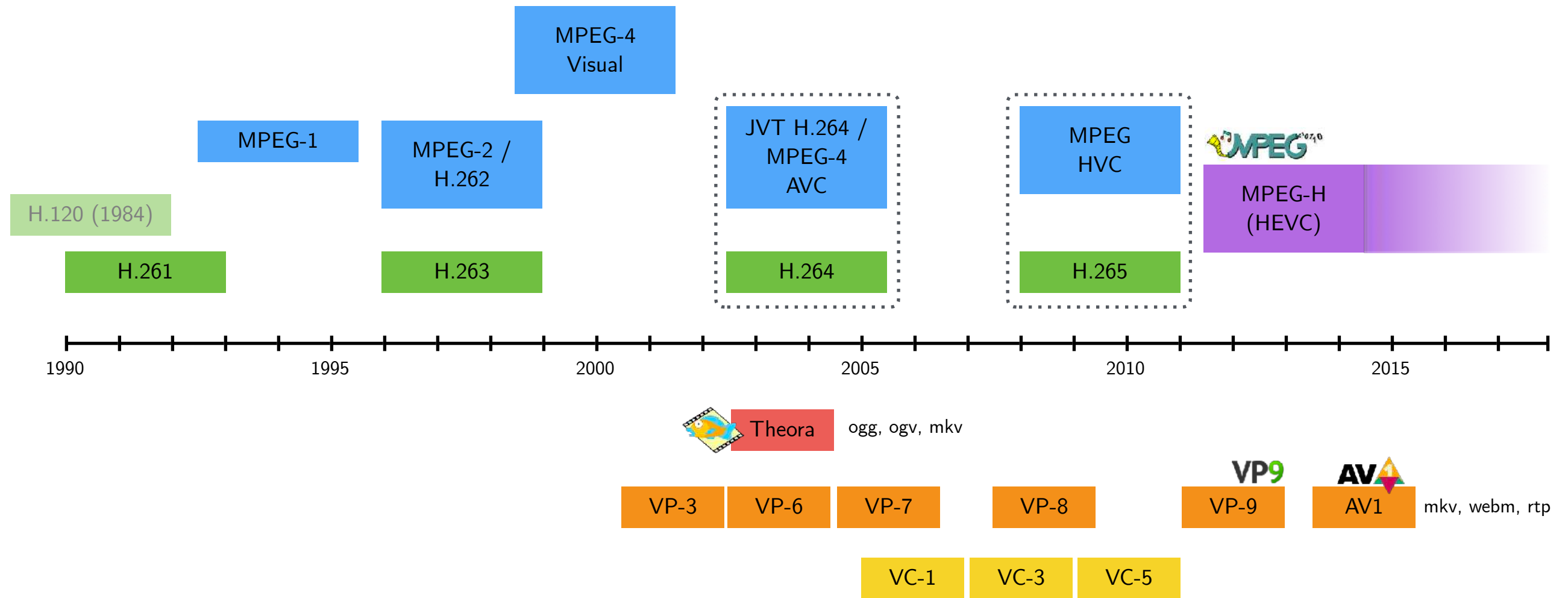
DNG: Digital Negative, by Adobe

TIFF: Tagged Image File Format, by Adobe

TARGA: non-proprietary

...

(algunos) estándares de codificación de video



... y muchos más ...

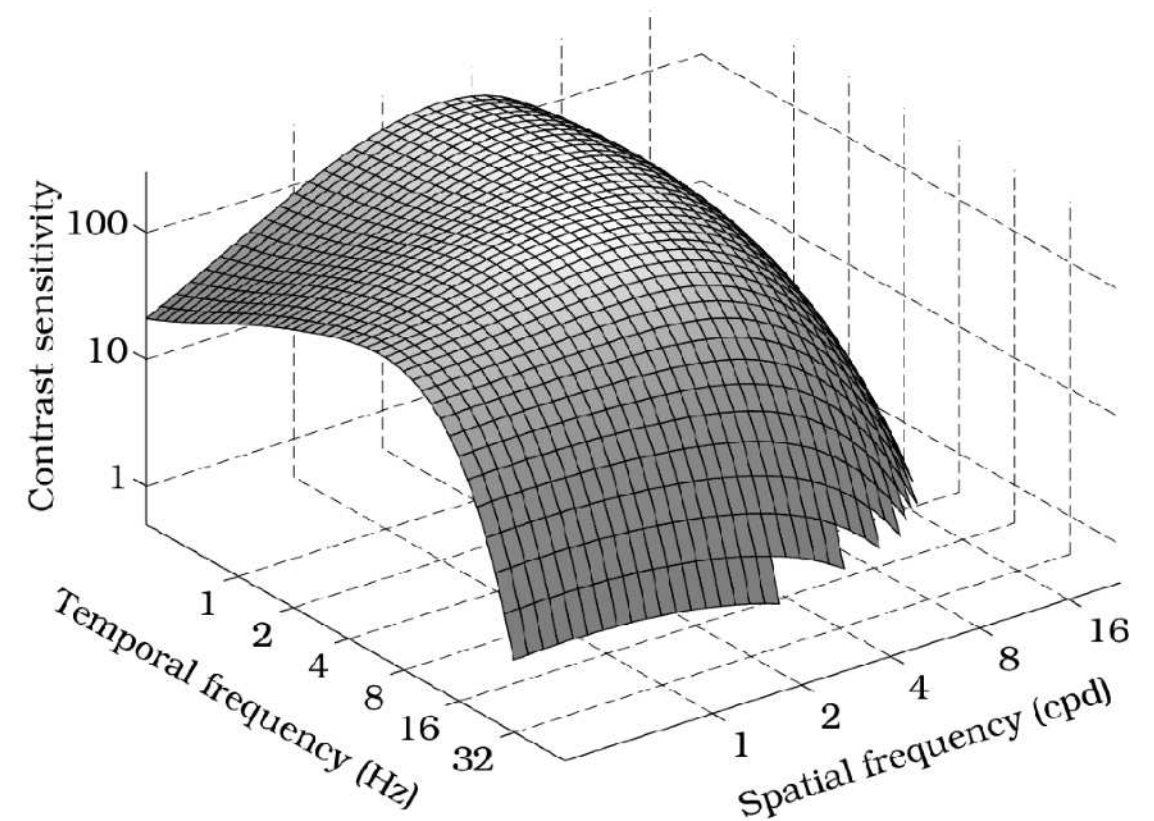
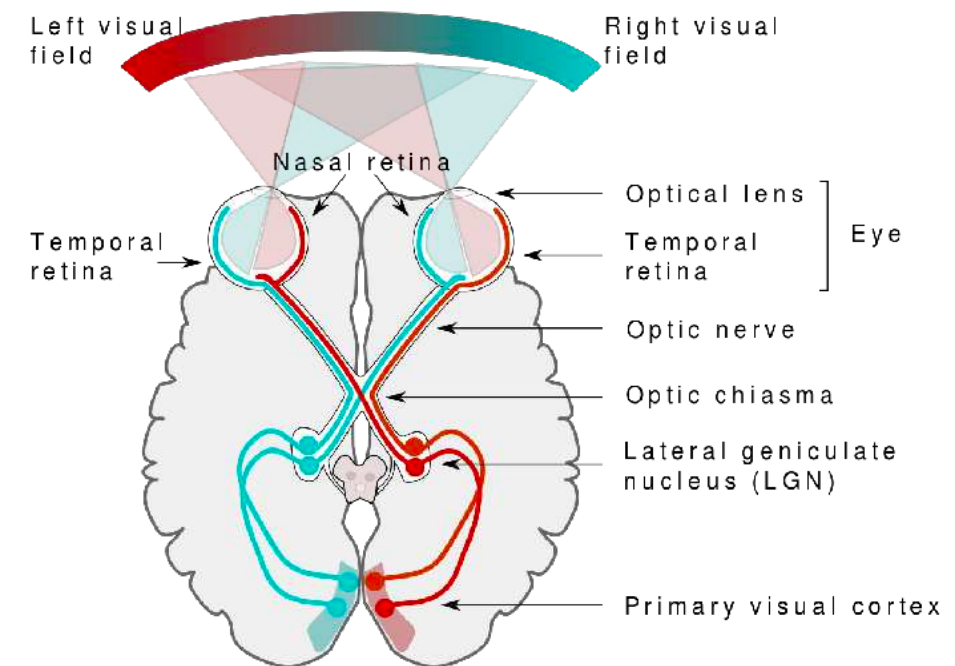
Familias y vecindarios de estándares de codificación de video

MPEG-1 part-2 [1]	<ul style="list-style-type: none"> Standardised in 1993 Developed for video and audio storage on CD-ROMs Has support for progressive video Supports YUV 4:2:0 at common intermediate format (352x288) resolution Group of pictures include I-picture, P-picture and B-picture Motion vectors are coded losslessly 	H.261 [5]	<ul style="list-style-type: none"> Standardised in 1988 [6] Developed for video conferencing over ISDN Support for CIF and QCIF resolutions in YUV 4:2:0 format Uses block-based hybrid coding with integer pixel motion compensation.
MPEG-2 part-2 [2]	<ul style="list-style-type: none"> Standardised in 1995 Supports video on DVDs, standard definition TVs and high definition TVs Can handle YUV 4:2:0 and YUV 4:2:2 formats Supports interlaced and progressively scanned pictures Introduction of <i>profiles</i> and <i>levels</i> to define the various capabilities of the standard as sub-sets. For example, <i>MPEG-2 Main profile / high level</i> is suitable for high definition television (HDTV) Scalable extensions which permit the division of a continuous video signal into two or more coded bit streams representing the video at different resolutions, picture quality (i.e. SNR), or picture rates Other features include data partitioning, non-linear quantization, VLC tables and improved mismatch control 	H.262 [2]	<ul style="list-style-type: none"> Standardised as <i>MPEG-2 part-2 (Video)</i> in 1995 See Table 1 for details
MPEG-4 part-2 (Visual) [3]	<ul style="list-style-type: none"> Standardised in 1999 Supports video on low-bit rate multimedia applications on mobile platforms and the Internet. Supports object-based or content-based coding where a video scene is coded as a set of foreground and background objects. Supports coding of synthetic video and audio including animation Shares subset with H.263 ("short header mode") 	H.263 / H.263+ [7]	<ul style="list-style-type: none"> H.263 was standardised in 1996. H.263+ was standardised in 1998 Improved quality compared to H.261 at lower bit rate to enable video conferencing/telephony Sub-pixel motion vectors up to 1/8th pixel accuracy (H.263+) for improved compression Shares subset with <i>MPEG-4 part 2</i>
MPEG-4 Part 10 [4] (Advanced video coding)	<ul style="list-style-type: none"> Standardised in 2003 Co-published as H.264 AVC, see Table 2 for details 	H.264 Advanced Video Coding [4]	<ul style="list-style-type: none"> Standardised in 2003 Supports video on the Internet, computers, mobile and HDTVs Significantly improved picture quality compared to H.263, at low bit rates but at the cost of increased computational complexity Improved motion compensation with variable block-size, multiple reference frames and weighted prediction In-loop deblocking filter to reduce block discontinuities
		H.265 / HEVC [8]	<p>Standardised in 2013, HEVC's basic structure is similar to H.264/AVC with improvements such as:</p> <ul style="list-style-type: none"> Support for ultra HD video up to 8K resolutions with frame rates up to 120 fps Greater flexibility in prediction modes and transform block sizes More sophisticated interpolation and deblocking filters Features to support parallel processing More efficient compared to H.264 in terms of bitrate savings for the same picture quality [9,10]

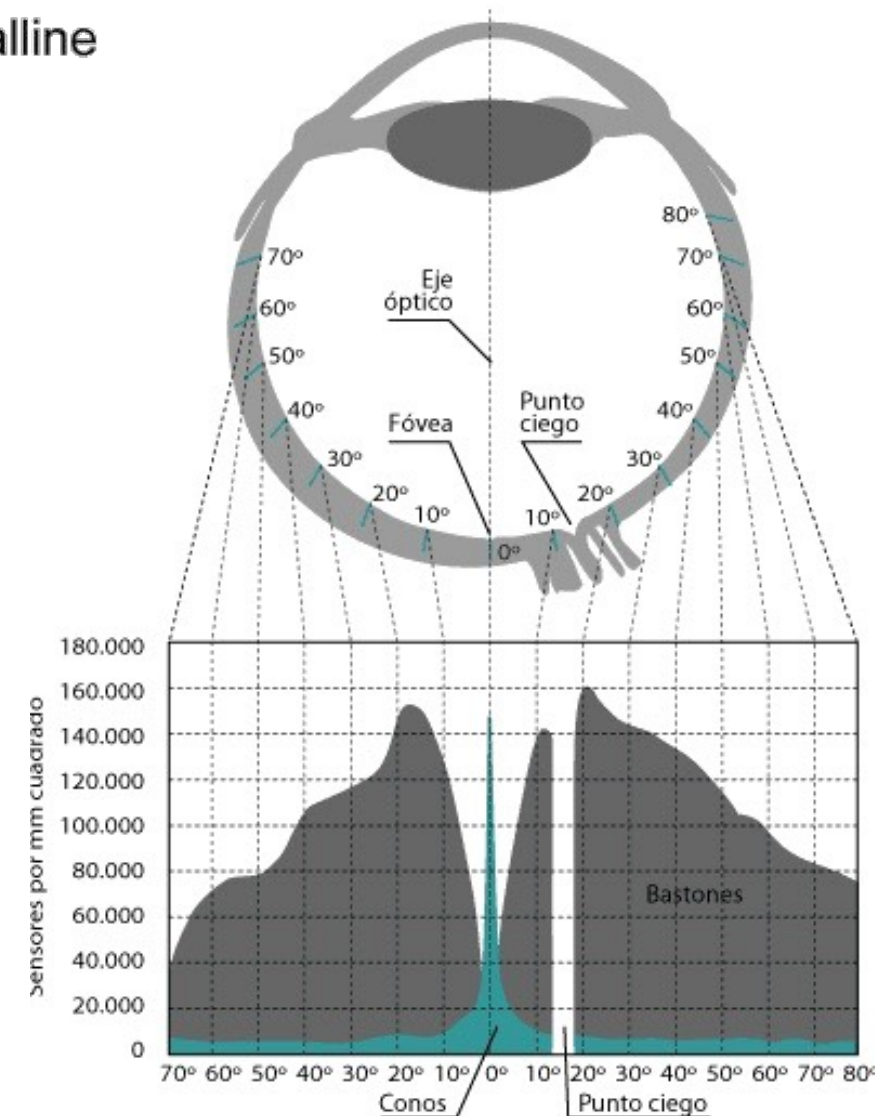
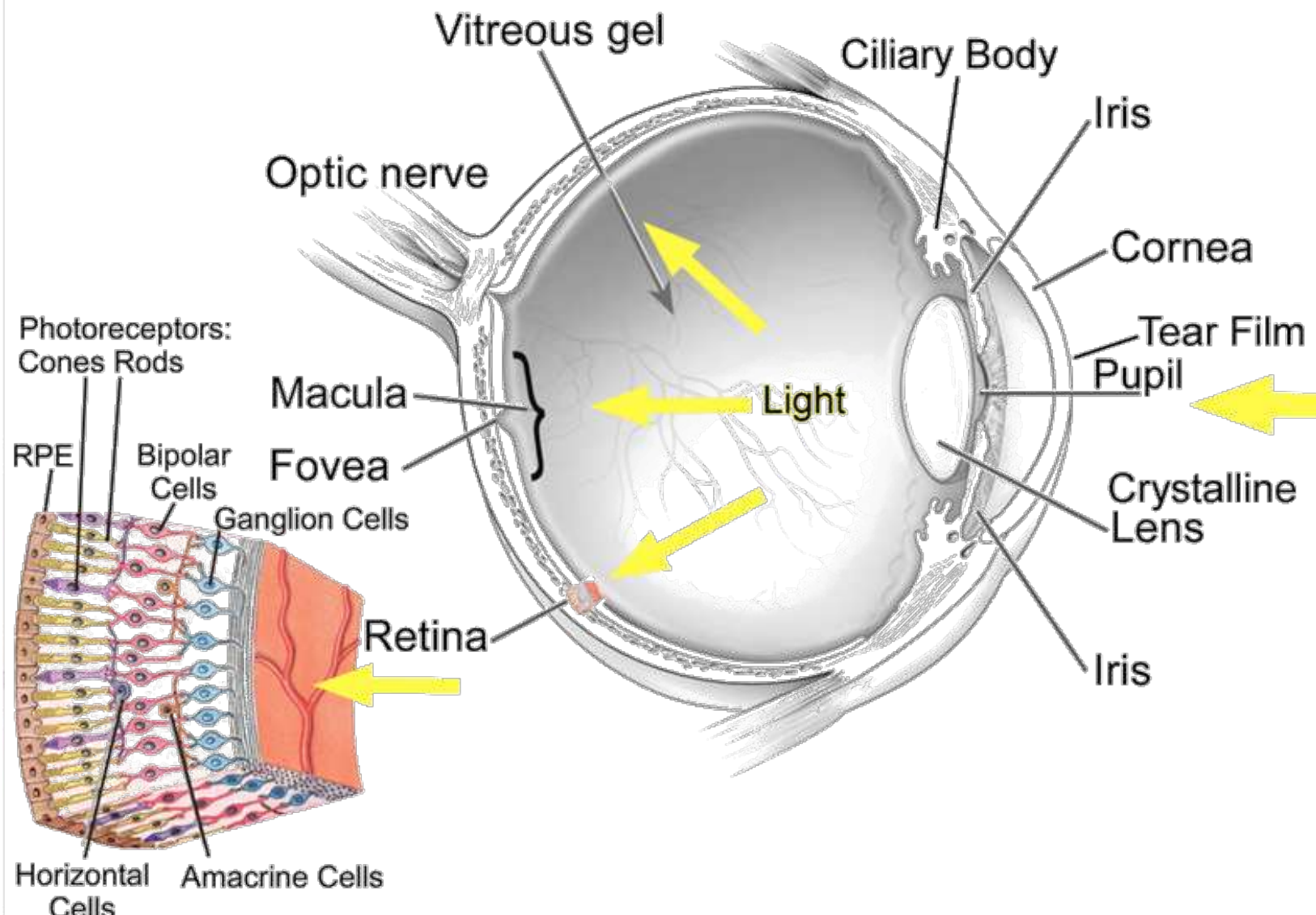
Theora [13]	<ul style="list-style-type: none"> Based on On2's VP3.2 format Support for video on the Internet Bitstream format was frozen in 2004 Support for more pixel formats - YUV444, YUV422 and YUV420 No B-pictures No global motion compensation Only half-pixel precision motion compensation In-loop deblocking filter to reduce block discontinuities 	VP9 [15]	<p>Has basic structure similar to VP8 with improvements such as:</p> <ul style="list-style-type: none"> Support for resolution up to 8k and frame rate up to 120fps Use of superblocks (32x32 and 64x64) to exploit high correlation over larger areas in HD video Enhanced interpolation for motion compensation with 8-tap filters to achieve 1/8th pixel accuracy in motion vectors. Reference frame scaling for improved bitrate adjustment, where the reference frame can be scaled up or down during inter prediction.
VP8 [14]	<ul style="list-style-type: none"> Designed to operate in low bandwidth environment such as web video Support for Web video format - YUV420, 8-bit colour depth, progressive scan and resolution up to 4K Flexible reference frames with buffer size limited to three frames Efficient intra and inter prediction with motion vector accuracy of 1/4th pixel for luma and 1/8th pixel for chroma Adaptive in-loop deblocking filter to reduce block discontinuities Features such as data partitioning enable parallel processing 	Daala [16]	<p>Daala is being designed to differ from common video compression techniques. Some distinguishing features include:</p> <ul style="list-style-type: none"> Lapped transforms instead of block-based DCT Lifting pre- and post-filtering instead of deblocking filter Frequency domain intra prediction instead of pixel domain prediction Time/Frequency Resolution Switching where image blocks can be split apart or merged together in the frequency domain.

Sistema visual humano

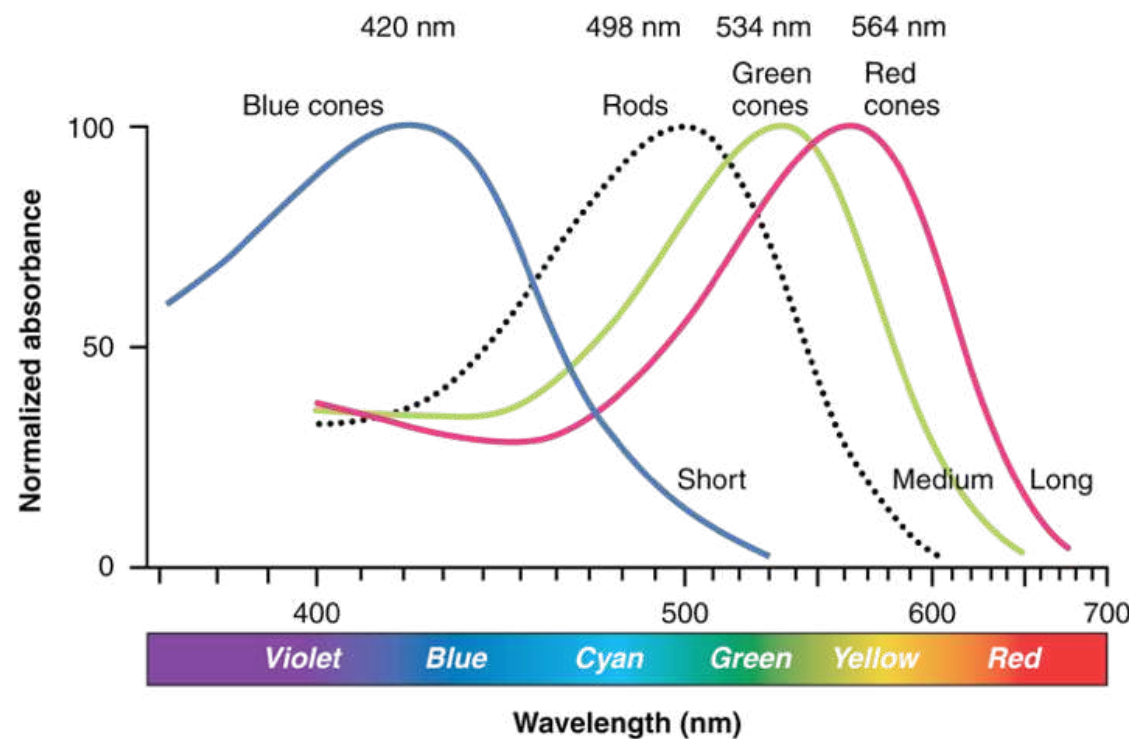
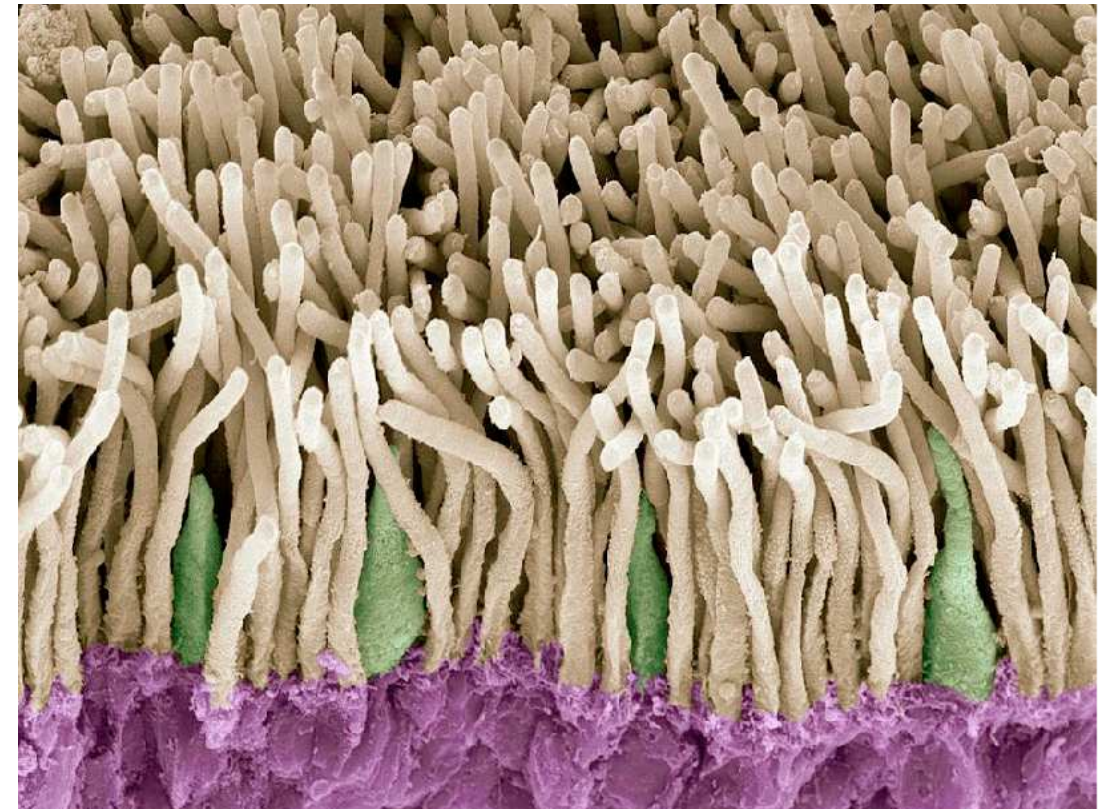
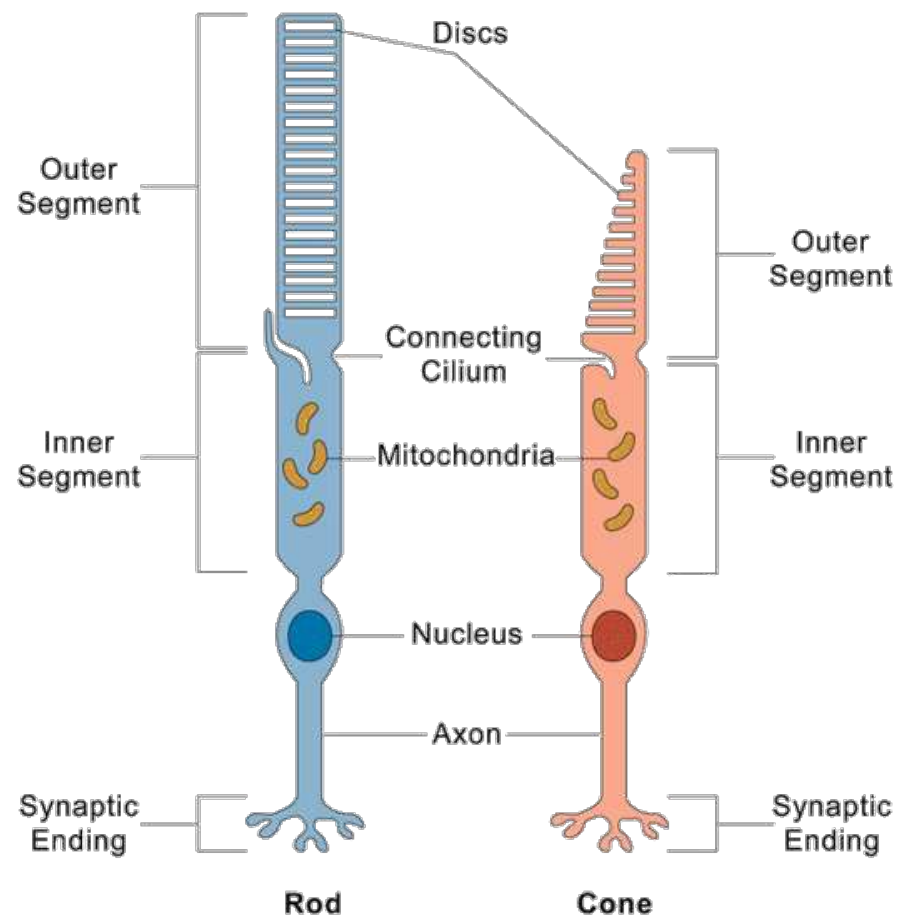
- Diferentes tipos de neuronas (fotorreceptores)
- Diferentes respuestas a:
 - frecuencias espaciales
 - estímulos temporales
- Respuesta al contraste (contrast sensitivity function)
 - umbral de contraste
 - la respuesta depende de la frecuencia del estímulo
 - depende de la distancia al objeto
- Movimiento
 - la frecuencia temporal afecta el estímulo
- Es un *pasabajos espacio-temporal*



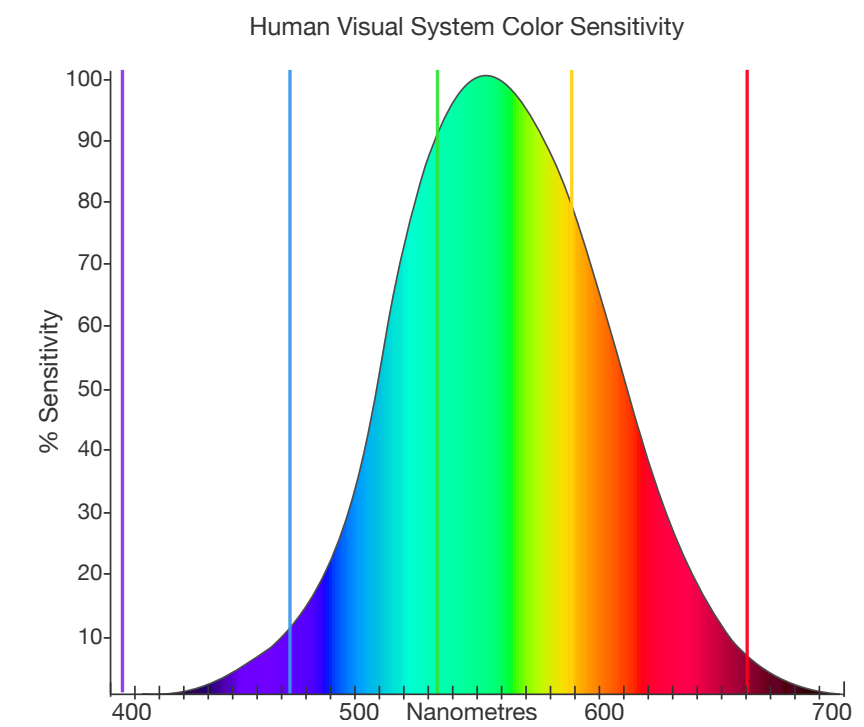
El ojo



Fotorreceptores



https://upload.wikimedia.org/wikipedia/commons/9/94/1416_Color_Sensitivity.jpg

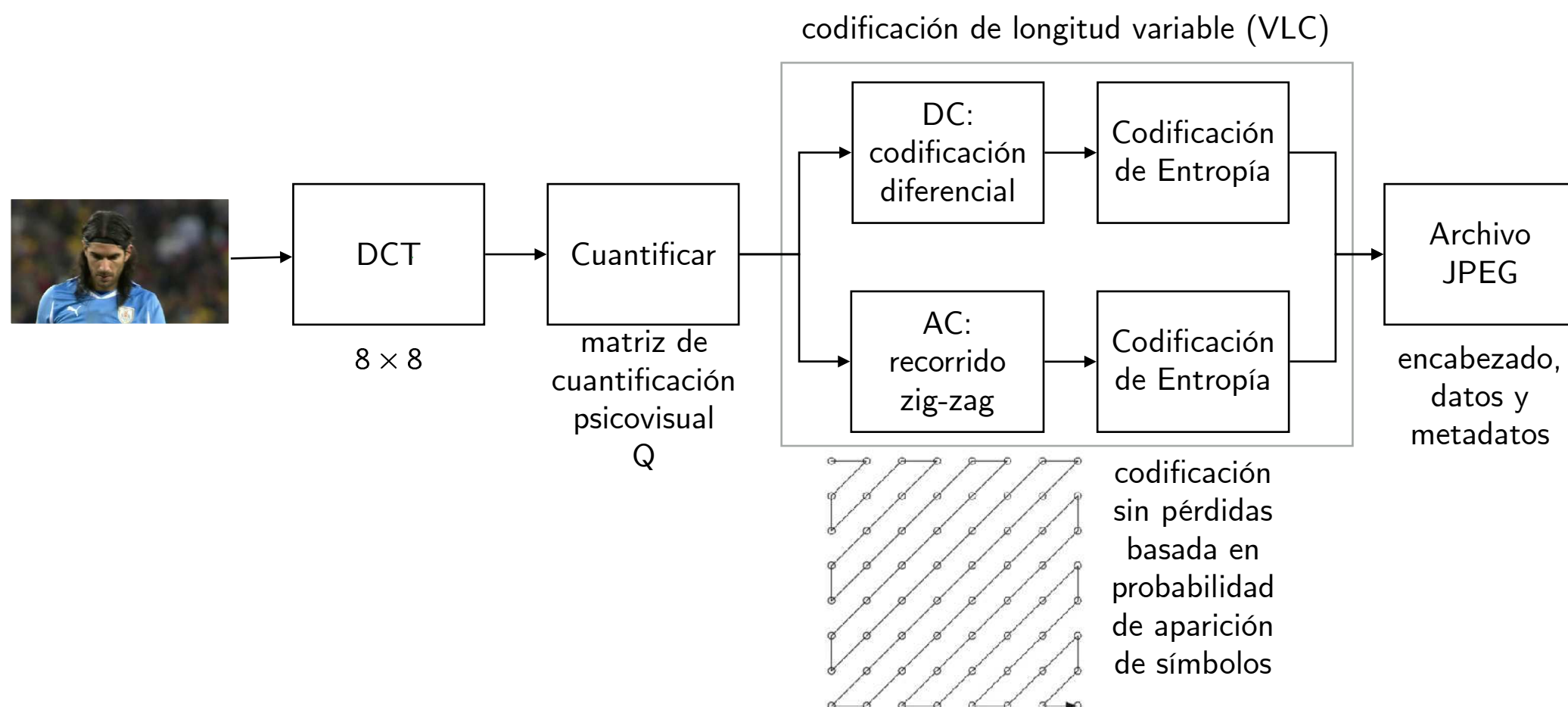


[Adaptado de <https://upload.wikimedia.org/wikipedia/commons/c/c0/Eyesensitivity.svg>]

Sistema visual humano

- Resumen
 - Bajas frecuencias tienen más importancia que altas frecuencias
 - Menor resolución espacial para las cromas, contra la luminancia
 - Cromas son menos relevantes para captar movimiento
 - Altas frecuencias temporales (variaciones rápidas) son menos relevantes

Codificación imágenes JPEG



Discrete Cosine Transform (DCT)

- Secuencia de largo N , $x[n]$:
- DCT

$$X[k] = c[k] \sum_{n=0}^{N-1} x[n] \cos \left[\frac{\pi}{N} \left(n + \frac{1}{2} \right) k \right]$$

$$c[k] = \begin{cases} \sqrt{\frac{1}{N}} & k = 0 \\ \sqrt{\frac{2}{N}} & k \neq 0 \end{cases}$$

- IDCT

$$x[n] = \sum_{k=0}^{N-1} c[k] X[k] \cos \left[\frac{\pi}{N} \left(n + \frac{1}{2} \right) k \right]$$

- Propiedades
 - Fourier real, ortogonal y separable
 - Compacta energía
 - Base fija
 - Algoritmos rápidos

Discrete Cosine Transform (DCT)

- Una imagen $N \times M$, $i[n, m]$:

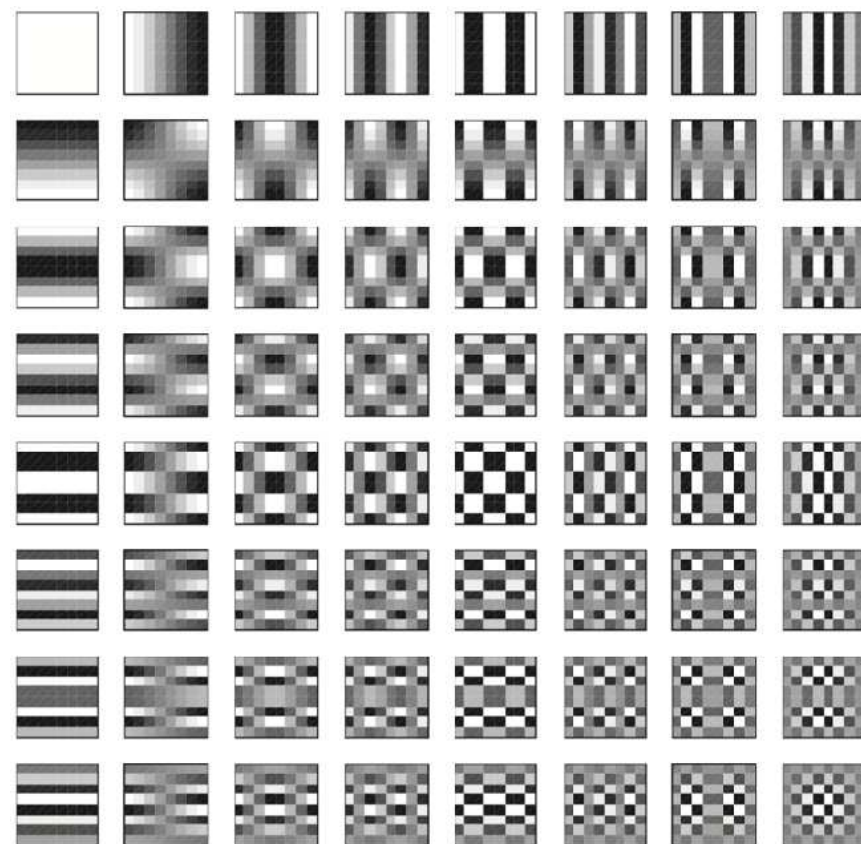
- 2D-DCT

$$I[k, j] = c[k]c[j] \sum_{n=0}^{N-1} \sum_{m=0}^{M-1} i[n, m] \cos\left[\frac{\pi}{N}\left(n + \frac{1}{2}\right)k\right] \cos\left[\frac{\pi}{M}\left(m + \frac{1}{2}\right)j\right]$$

- 2D-IDCT

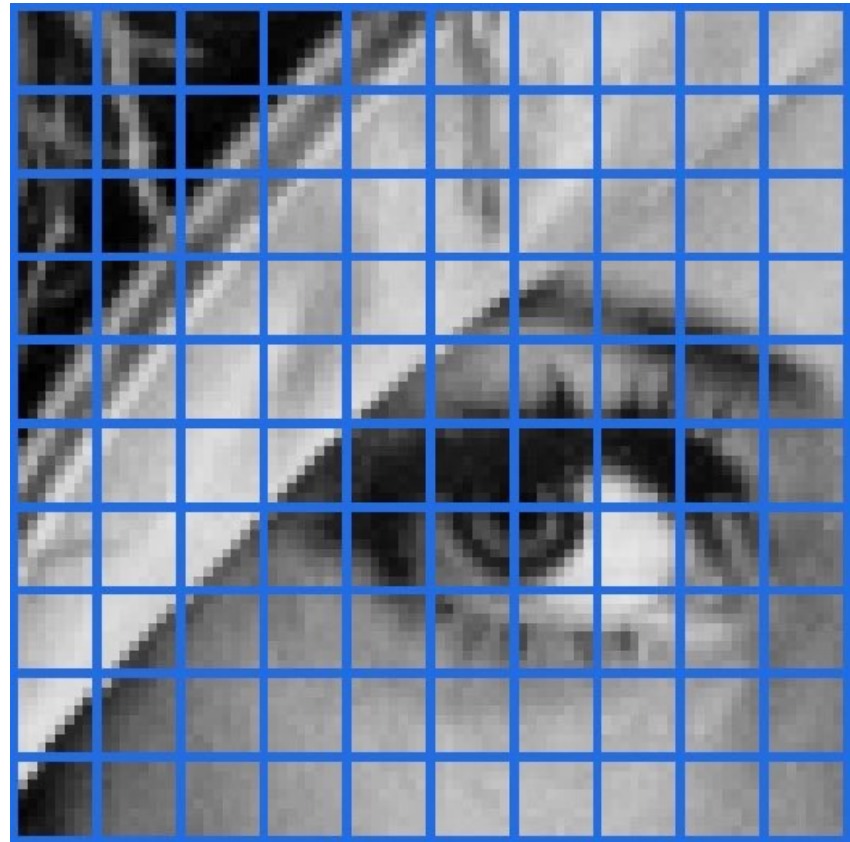
$$i[n, m] = \sum_{n=0}^{N-1} \sum_{m=0}^{M-1} c[k]c[j]I[k, j] \cos\left[\frac{\pi}{N}\left(n + \frac{1}{2}\right)k\right] \cos\left[\frac{\pi}{M}\left(m + \frac{1}{2}\right)j\right]$$

- Es una base del espacio de bloques imágenes de 8×8 píxeles

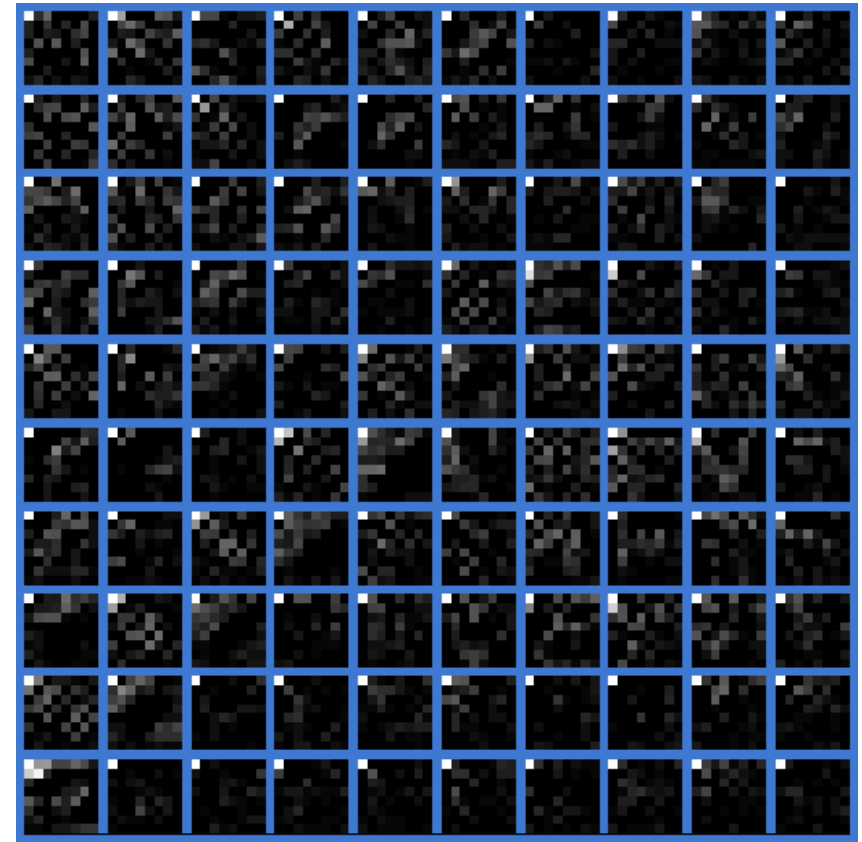


Vectores 8×8 de la base

Discrete Cosine Transform (DCT)



División en bloques de 8×8 pixeles



DCT de cada bloque

Discrete Cosine Transform (DCT)



Original



Reconstrucción con 1 coeficiente

Discrete Cosine Transform (DCT)



Original



Reconstrucción con 3 coeficientes

Discrete Cosine Transform (DCT)



Original



Reconstrucción con 6 coeficientes

Discrete Cosine Transform (DCT)

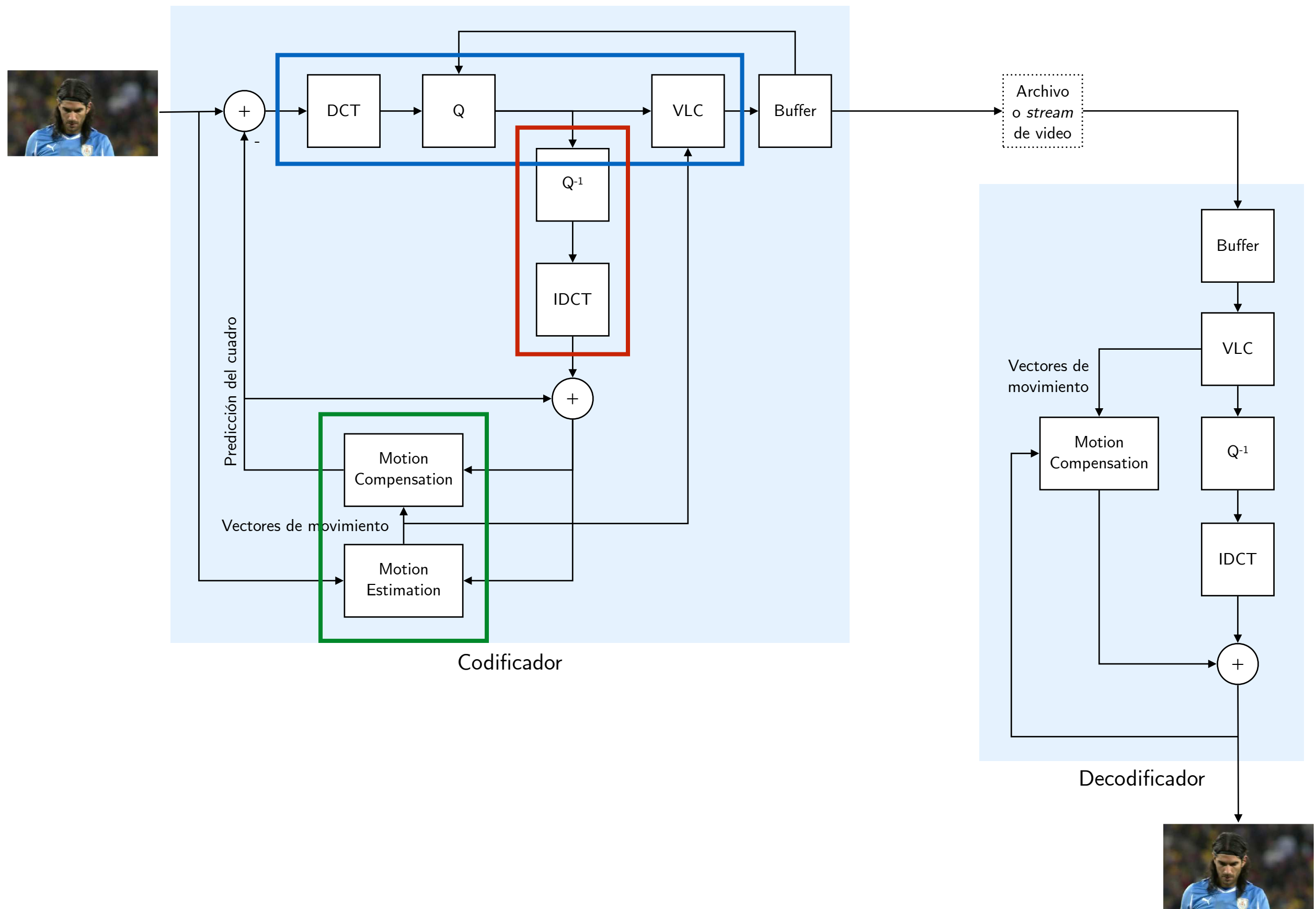


Original



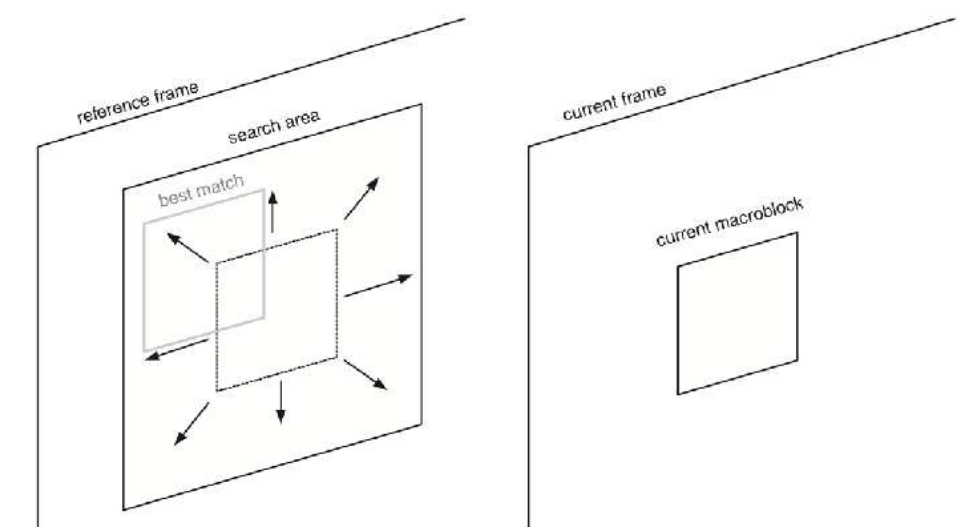
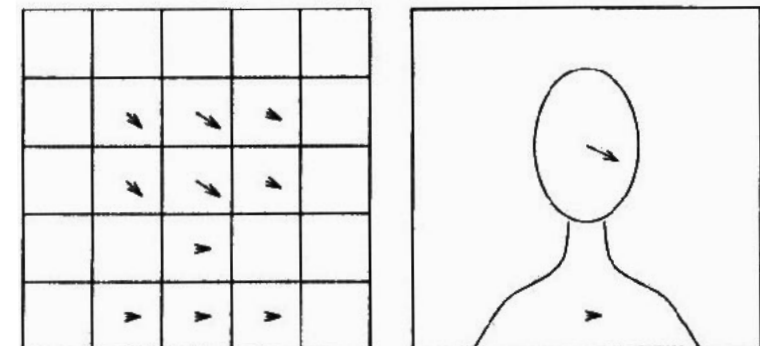
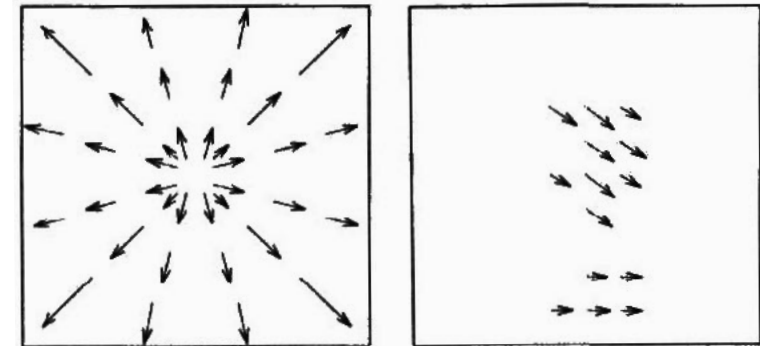
Reconstrucción con 10 coeficientes

Codificador - Decodificador MPEG



Estimación y compensación de movimiento

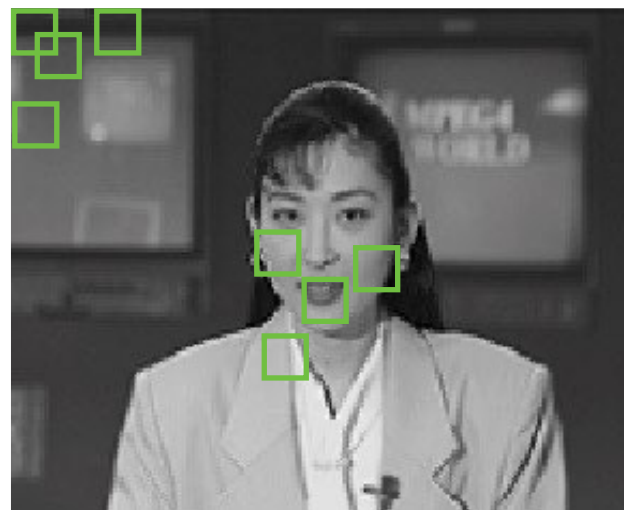
- Modelo del movimiento (global, pixel, bloque, regiones).
 - Representado por un conjunto de parámetros.
 - Es una de las etapas con mayor requerimiento de cómputo.
- MPEG-1/2 utilizan bloques (*macrobloques*).
 - Se asumen traslaciones (rotaciones pequeñas).
 - Búsqueda exhaustiva o rápida (iterativa).
 - Impreciso para representar bordes de objetos.
- MPEG-4/H.264/VP9 define regiones (objetos)
 - Necesaria una segmentación de la imagen.
 - Agrupar los objetos con el mismo movimiento.
 - Mejor estimación vs. mayor complejidad.



Estimación y compensación de movimiento

- Se crea una predicción del cuadro a partir de cuadros conocidos.
 - Se busca minimizar el error de predicción (usualmente con SAD)

$$e(\mathbf{x}) = d(I(\mathbf{x}, t) - \hat{I}(\mathbf{x} + \mathbf{u}_{t,\tau}, \tau))$$



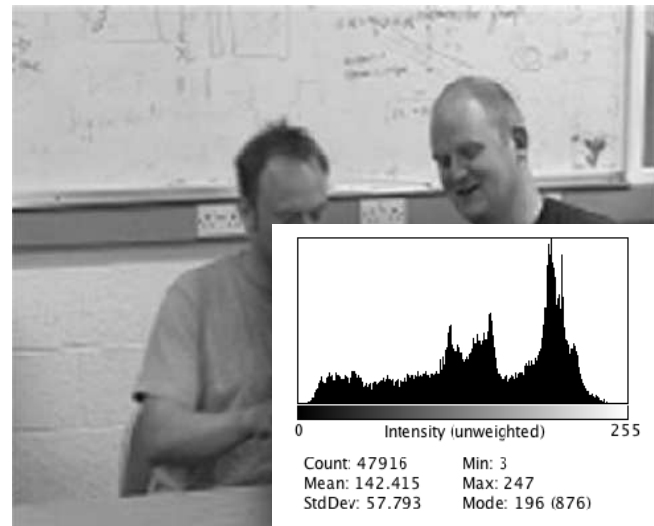
Cuadro t
(conocido)



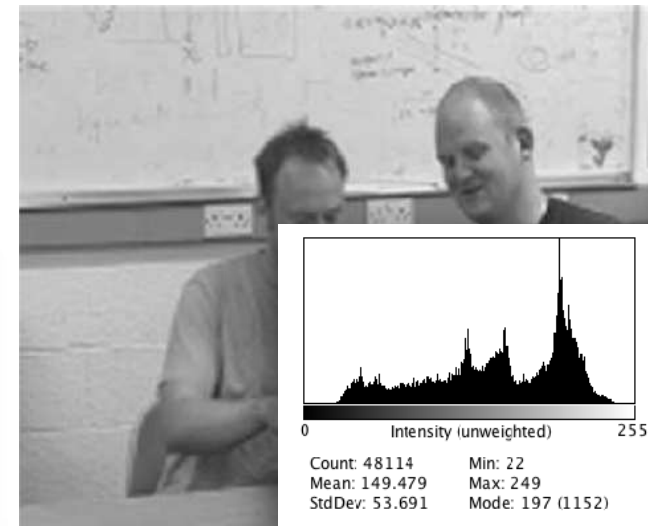
Cuadro t+1
(a codificar)

Cuadro t+1 estimado mediante
compensación de movimiento

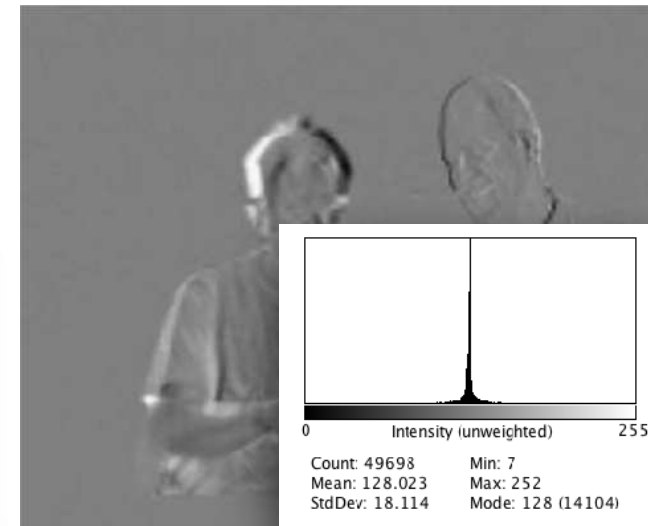
Residuo de la estimación de movimiento



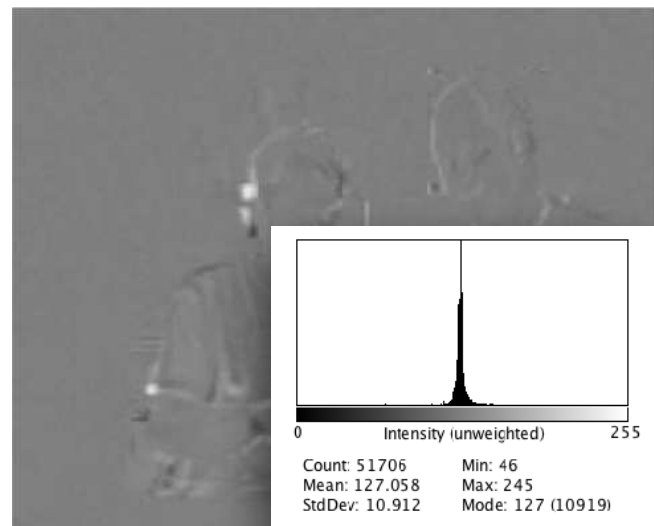
Cuadro t



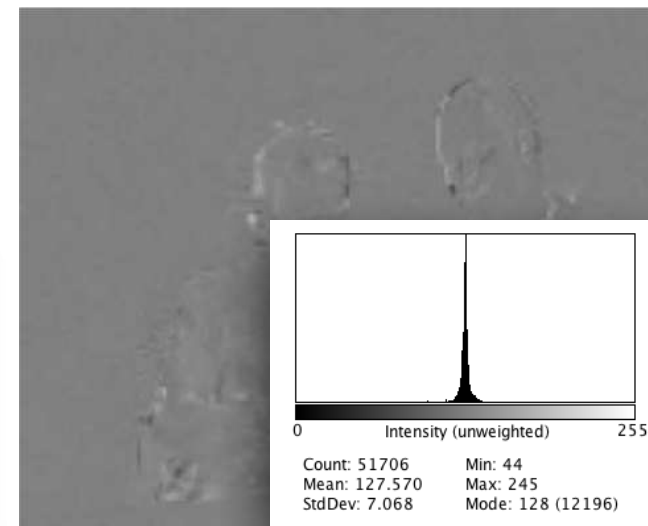
Cuadro t+1



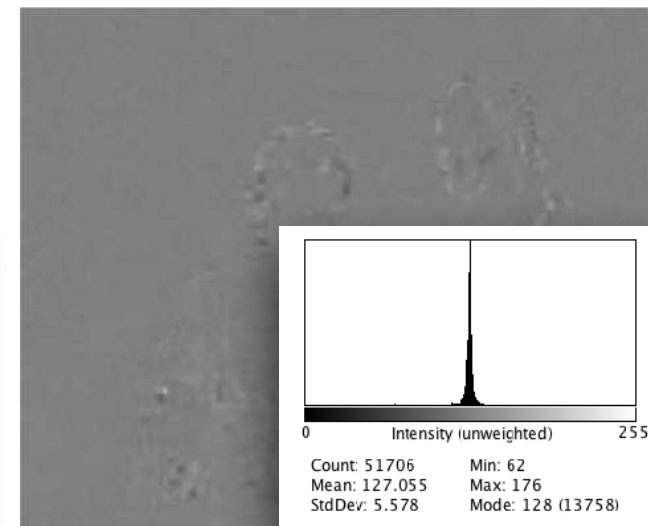
Diferencia



Residuo con macrobloque 16x16



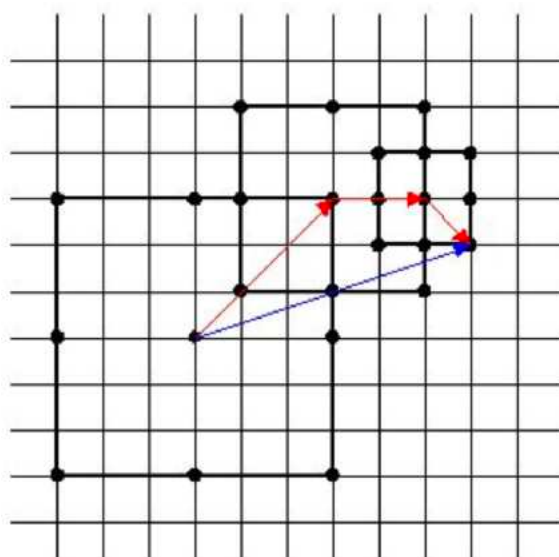
Residuo con macrobloque 8x8



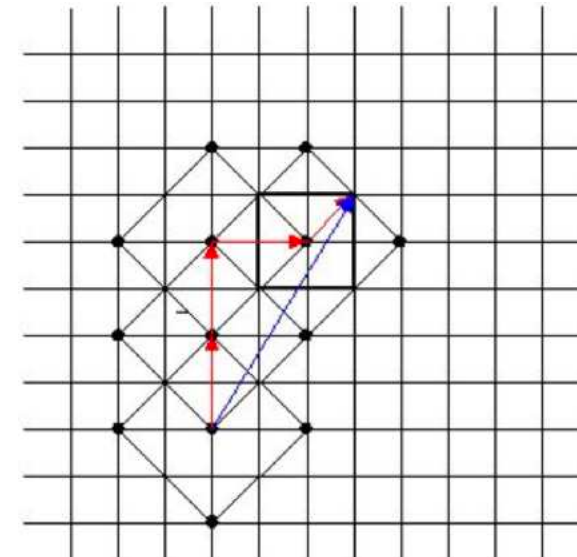
Residuo con macrobloque 4x4

Estrategias de búsqueda de movimiento

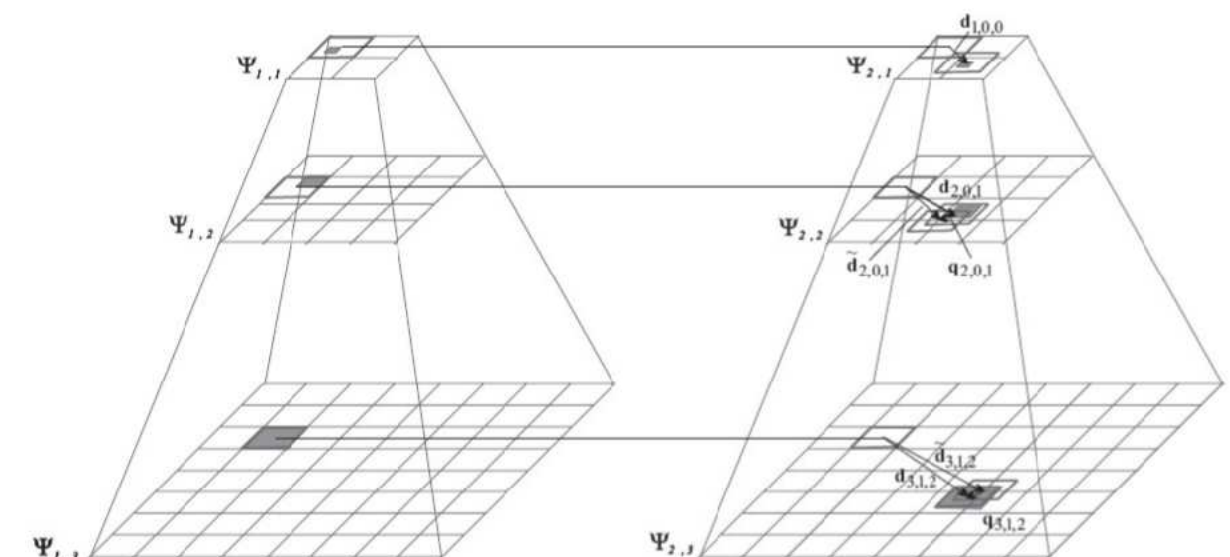
- ¿Dónde buscar?
 - Búsqueda exhaustiva (costosa)
 - Búsquedas rápidas (compromiso)
 - Asumiendo pequeños movimientos de traslación



Búsqueda en tres pasos



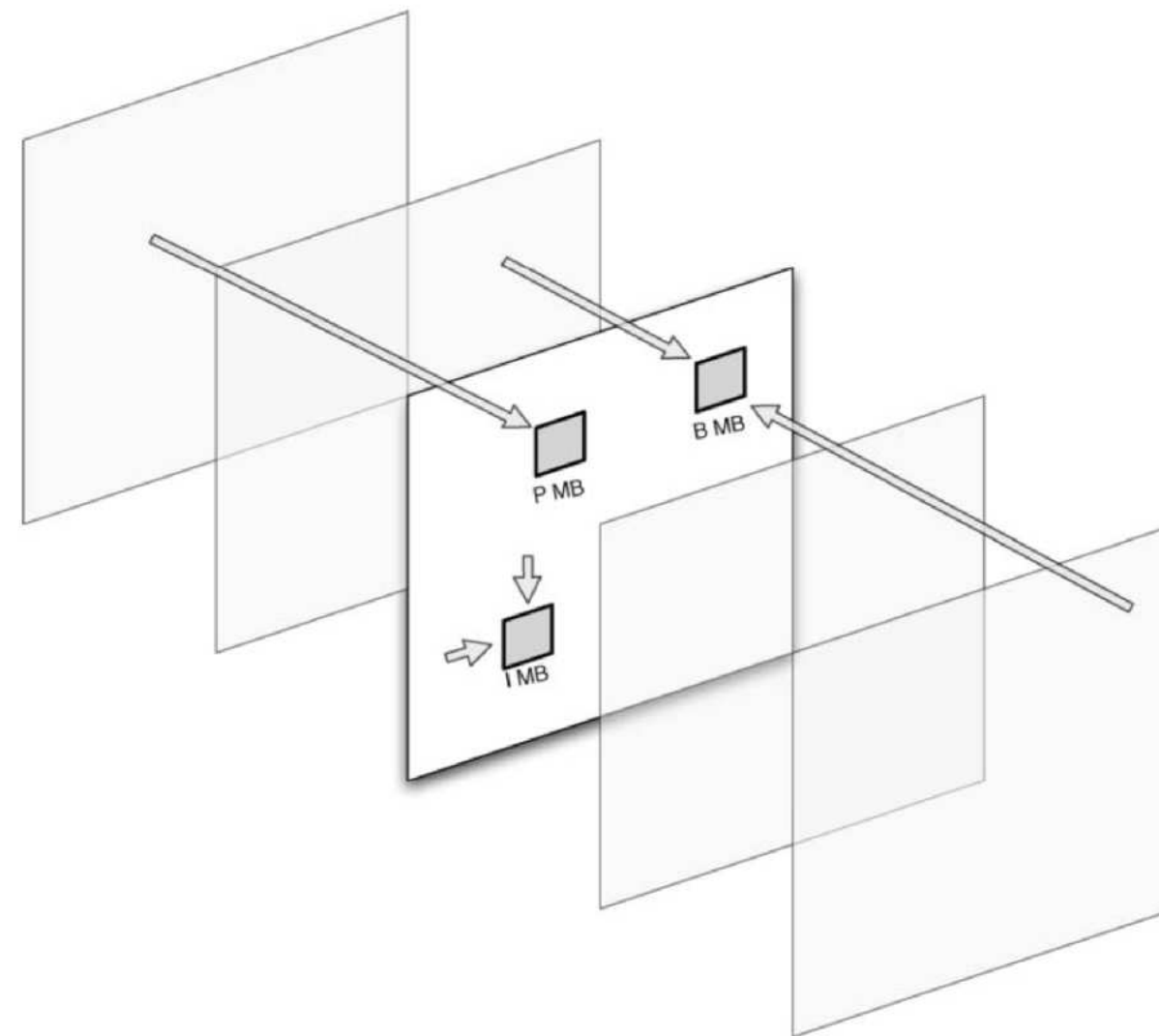
Búsqueda logarítmica



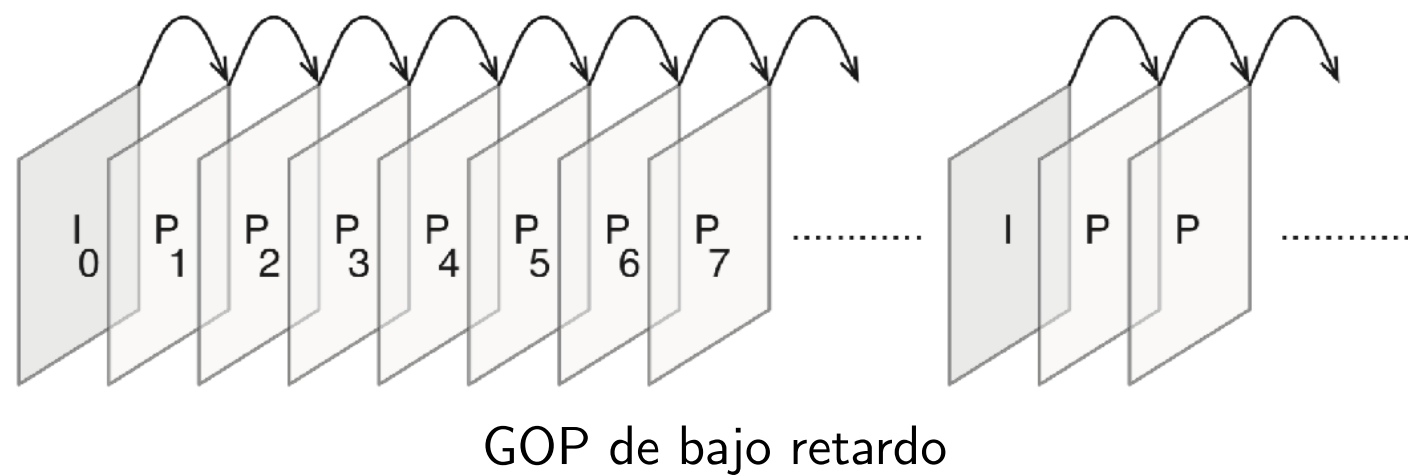
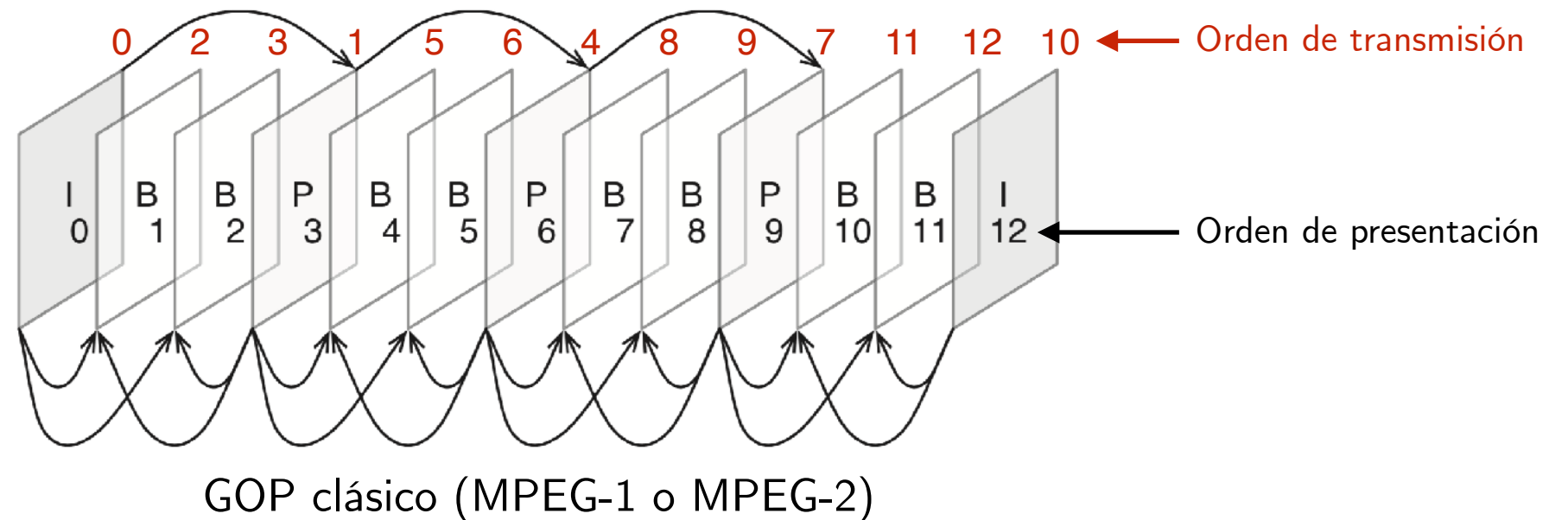
Búsqueda jerárquica o multiresolución

Predicción de cuadros

- Tres tipos de macrobloques/cuadros:
 - I (Intra): no se usa información temporal para codificarlo
 - P (Predicted): se predice a partir de un solo cuadro anterior (I o P)
 - B (Bidirectional): se predice a partir de más de un cuadro anterior o posterior (I o P)

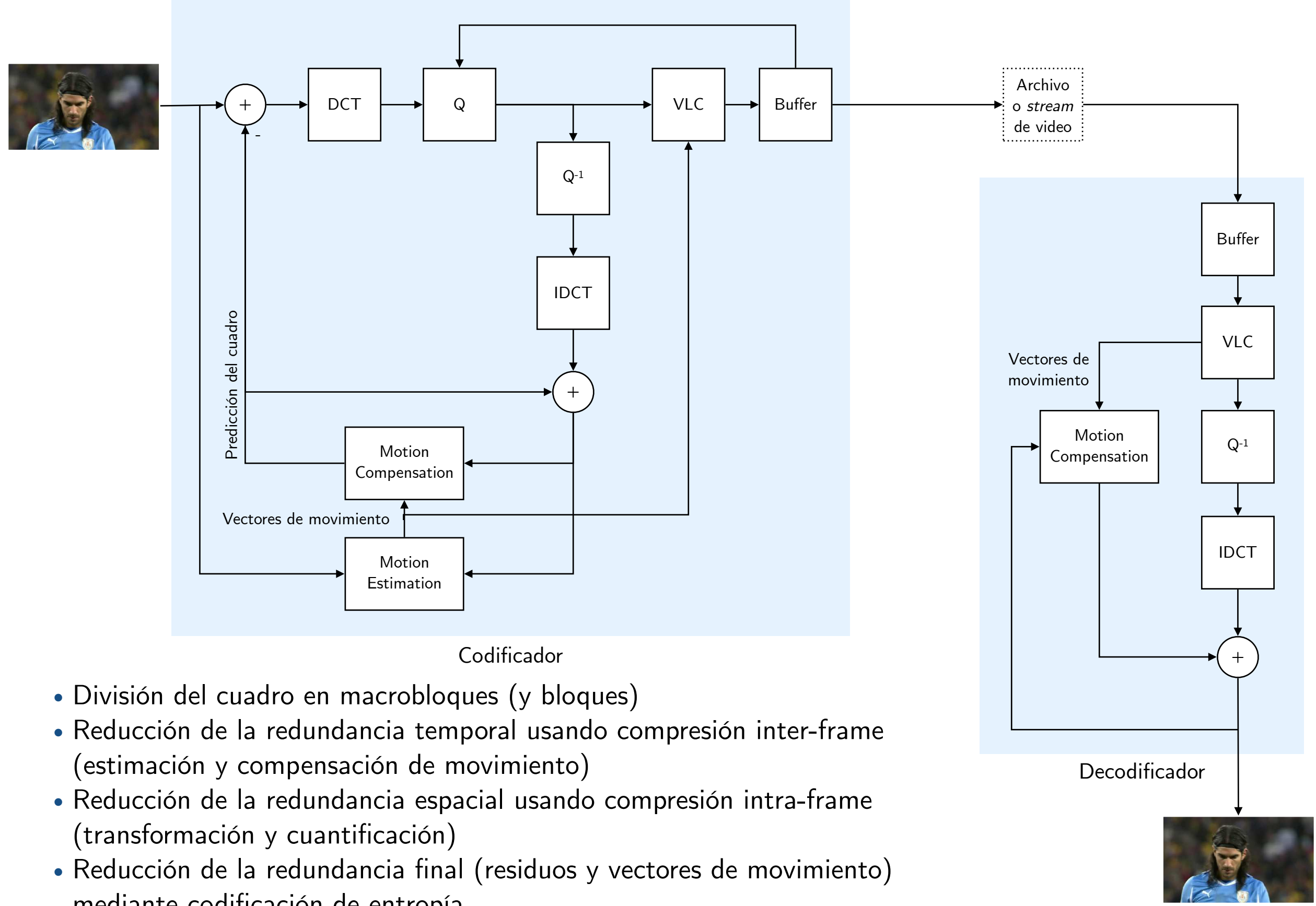


Group of Pictures



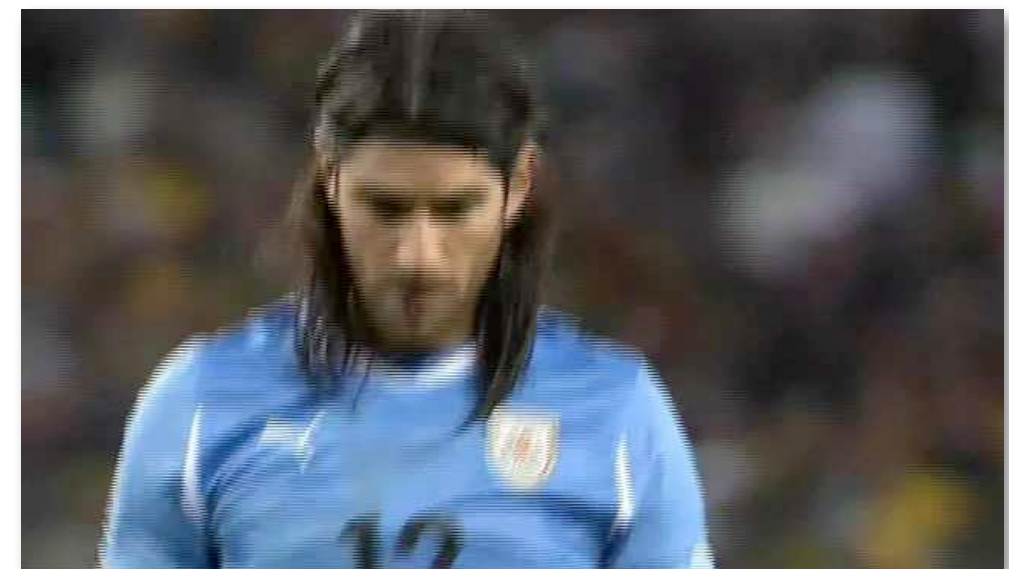
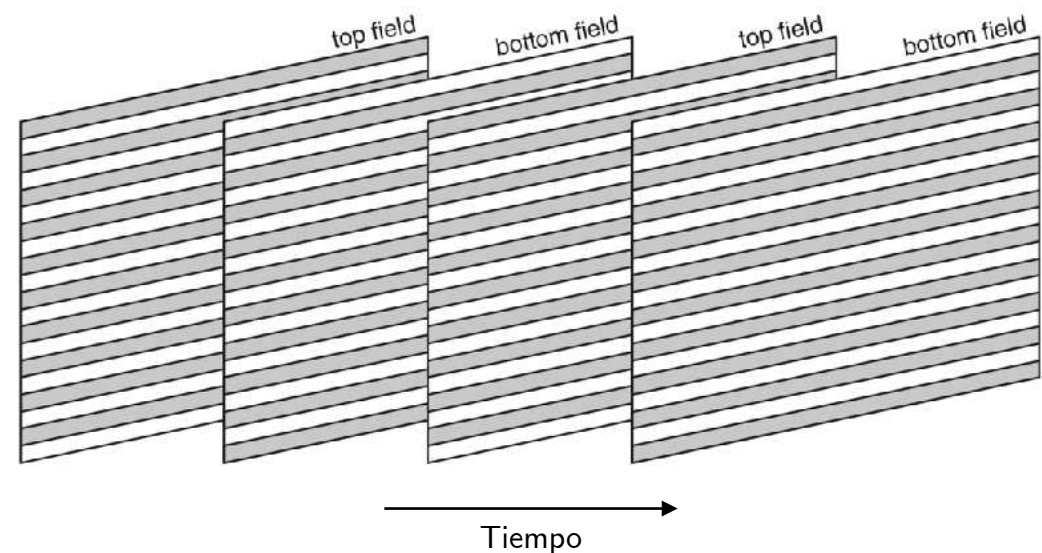
- El GOP clásico usualmente comprime más al usar dos imágenes de referencia.
- El GOP de bajo retardo requiere menor cantidad de memoria intermedia.

Codificador - Decodificador MPEG



Video interlaceado (y progresivo)

- Interlaceado (*interlaced*): Aumento del frame rate percibido sin aumento del ancho de banda.
- Se utilizan las líneas pares/impares de cuadros consecutivos.
- ¿Reminiscencia de la TV analógica?
- 1080i@60fps vs. 1080p@30fps
- Artefactos típicos en bordes de movimientos *rápidos*



Codificación y muestreo del color

- Adquisición en RGB, procesamiento luma o luminancia (Y) y croma o crominancia ($CrCb$, $PrPb$, UV , IQ).
 - Herencia de la TV monocromática.
- Es posible submuestrear las cromas (C_r , C_b) debido a la respuesta del SVH a los colores manteniendo similar percepción.
 - Esquemas de muestreo 4:4:4, 4:2:2, 4:2:0

$$Y = k_rR + k_gG + k_bB$$

$$R = Y + 1.402C_r$$

$$G = Y - 0.344C_b - 0.714C_r$$

$$B = Y + 1.772C_b$$

$$Y = 0.229R + 0.587G + 0.114B$$

$$C_b = 0.564(B - Y)$$

$$C_r = 0.713(R - Y)$$

$$R = Y + 1.408(V - 128)$$

$$G = Y - 0.346(U - 128) - 0.717(V - 128)$$

$$B = Y + 1.779(U - 128)$$

$$Y = 0.299R + 0.587G + 0.114B$$

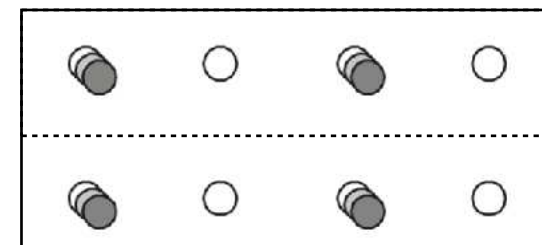
$$U = -0.169R + -0.331G + 0.500B + 128$$

$$V = 0.500R + -0.419G + -0.0813B + 128$$

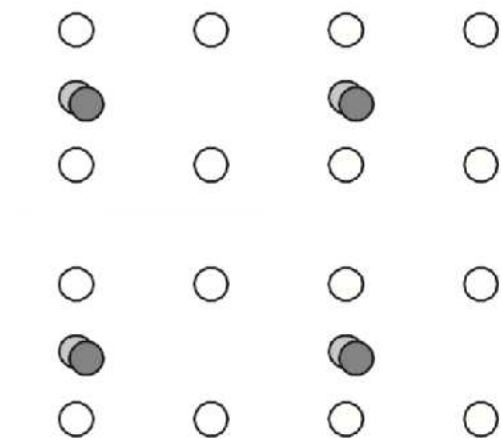
○ Y sample
 ● Cr sample
 ■ Cb sample



4:4:4



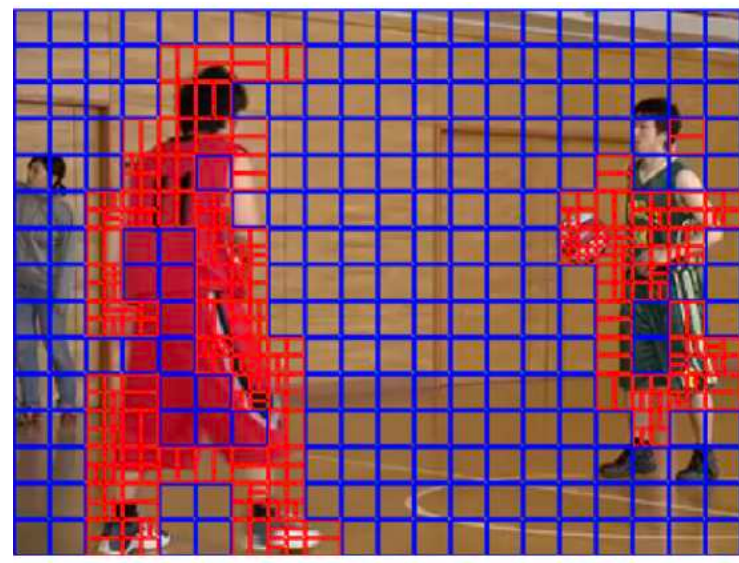
4:2:2



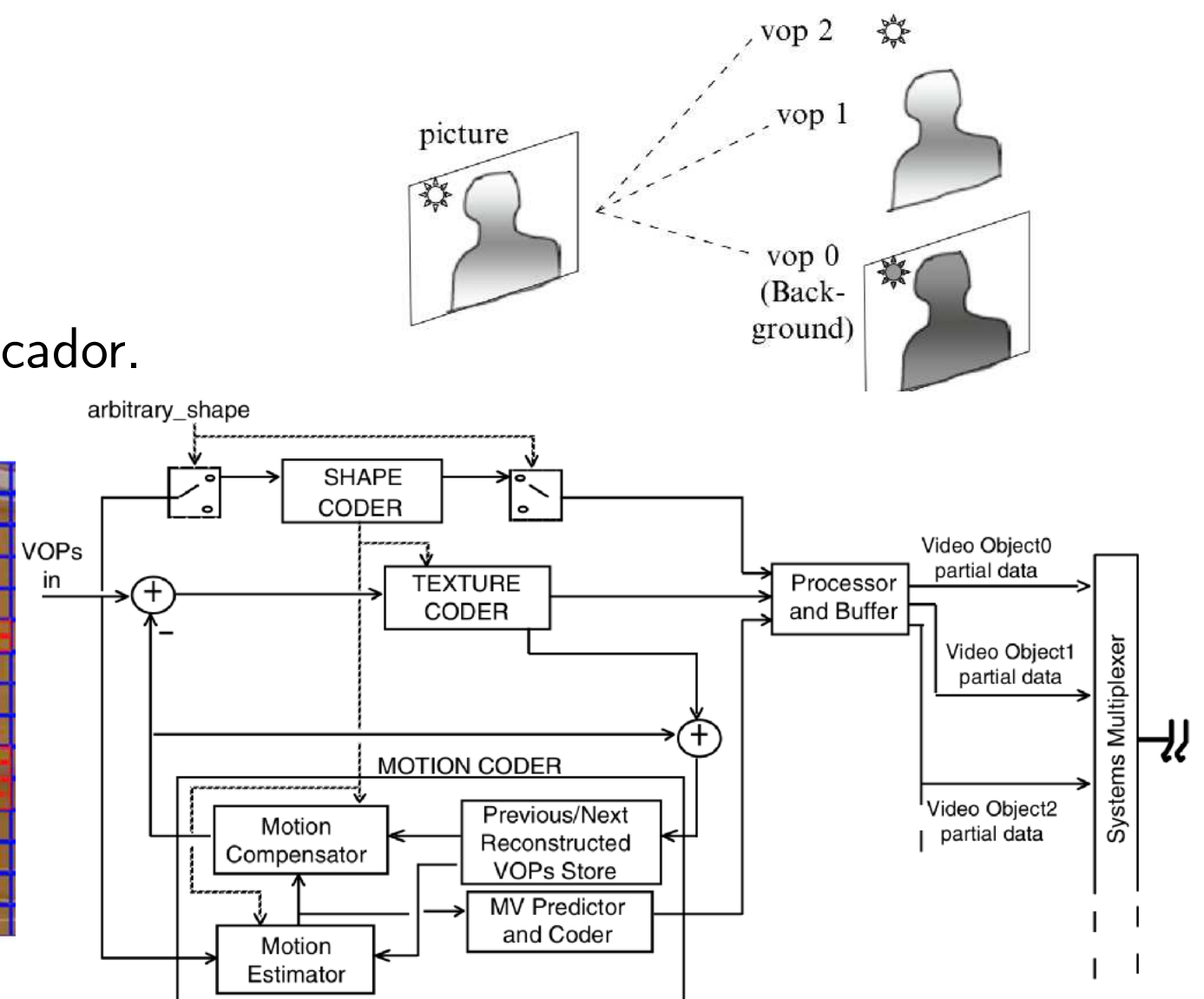
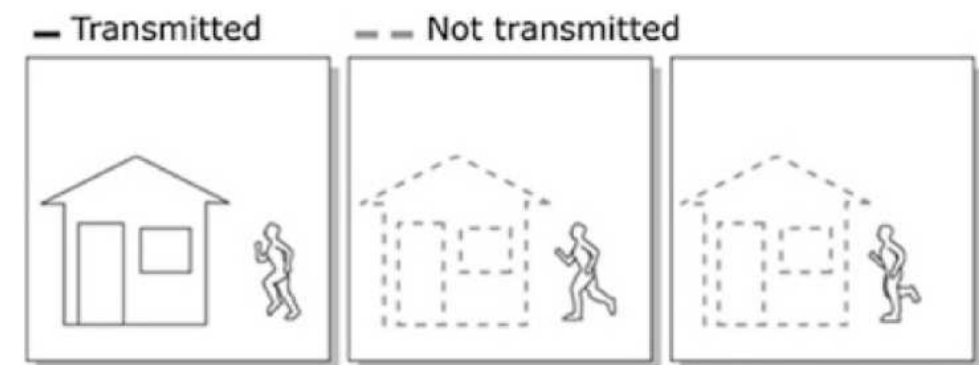
4:2:0

Características avanzadas de los codificadores

- Detección y codificación por objetos: *video object plane* (VOP), *sprite*.
- Macrobloques de tamaño variable.
- Otras transformaciones para redundancia espacial (wavelet).
- Cálculo paralelizable.
- Codificación escalable: adaptar la resolución/calidad con el decodificador.

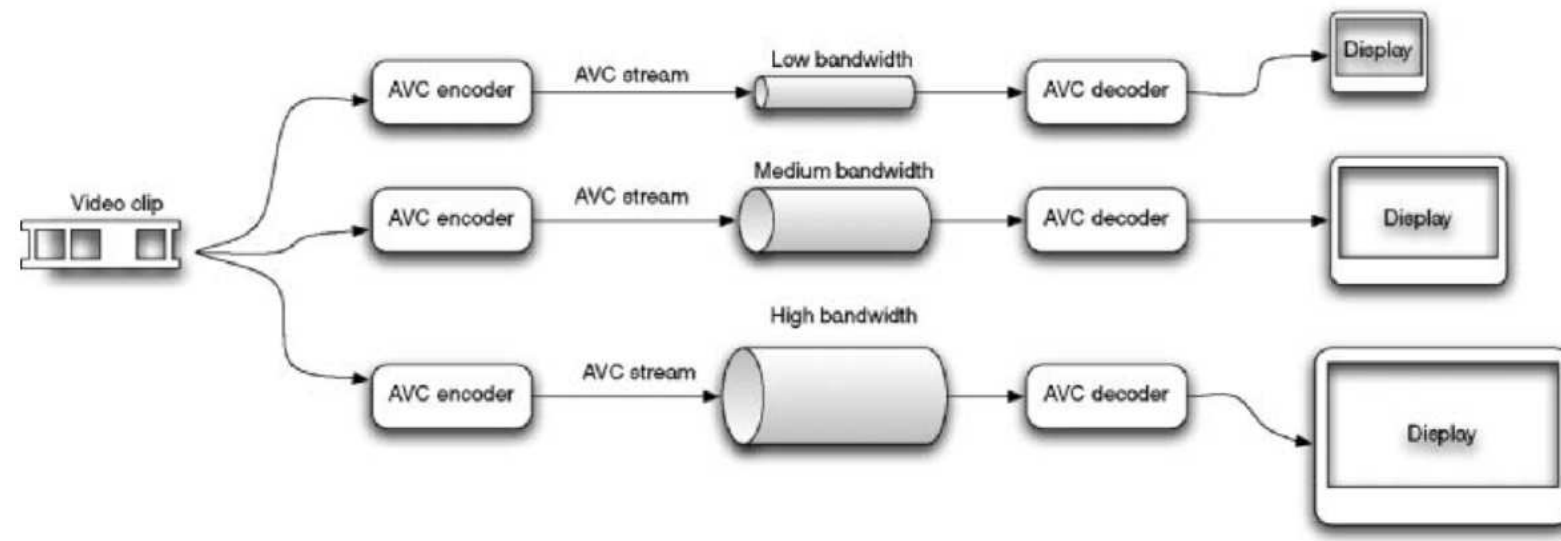


H.264/AVC

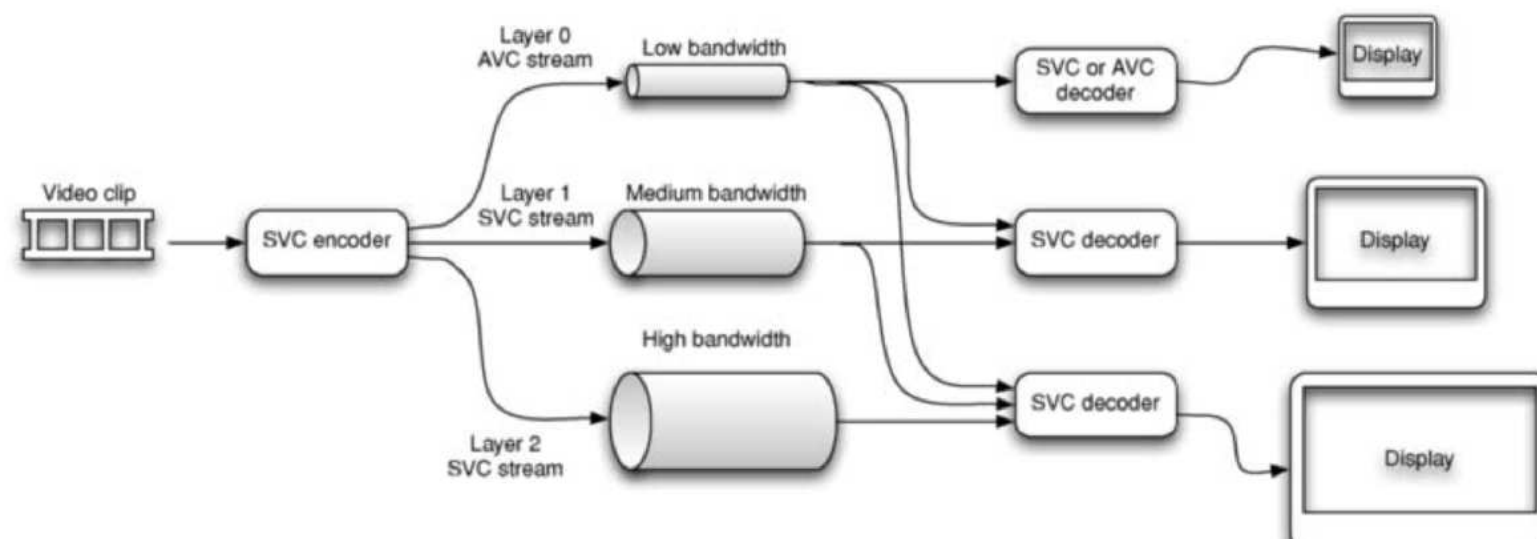


Codificador MPEG-4

Características avanzadas de los codificadores



Simulcast (AVC)



Scalable (SVC)

Medidas de calidad de imagen

- Peak Signal-to-Noise Ratio (PSNR) y error cuadrático medio (MSE)

$$\text{PSNR} = 10 \log_{10} \left(\frac{2^B - 1}{\text{MSE}} \right) \quad \text{MSE} = \frac{1}{MN} \sum_{i=1}^M \sum_{j=1}^N (I_1(i, j) - I_0(i, j))^2$$

- *Structural Similarity* (SSIM): método (índice) para predecir la calidad percibida
 - Varía en $[-1, 1]$, vale 1 cuando son idénticos.
 - Evalúan las *variaciones* que relacionan con la luma (l), el contraste (c) y la estructura (s).
 - Se evalúa con ventanas deslizantes basada en media (μ) y covarianza (σ).

$$l(x, y) = \frac{2\mu_x\mu_y + c_1}{\mu_x^2 + \mu_y^2 + c_1} \quad c(x, y) = \frac{2\sigma_x\sigma_y + c_2}{\sigma_x^2 + \sigma_y^2 + c_2} \quad s(x, y) = \frac{\sigma_{xy} + c_3}{\sigma_x\sigma_y + c_3}$$

$$c_1 = (0.01L)^2, c_2 = (0.03L)^2 = 2c_3, L = 2^B - 1$$

$$\text{SSIM}(x, y) = l(x, y)^\alpha c(x, y)^\beta s(x, y)^\gamma$$
$$\alpha > 0, \beta > 0, \gamma > 0$$

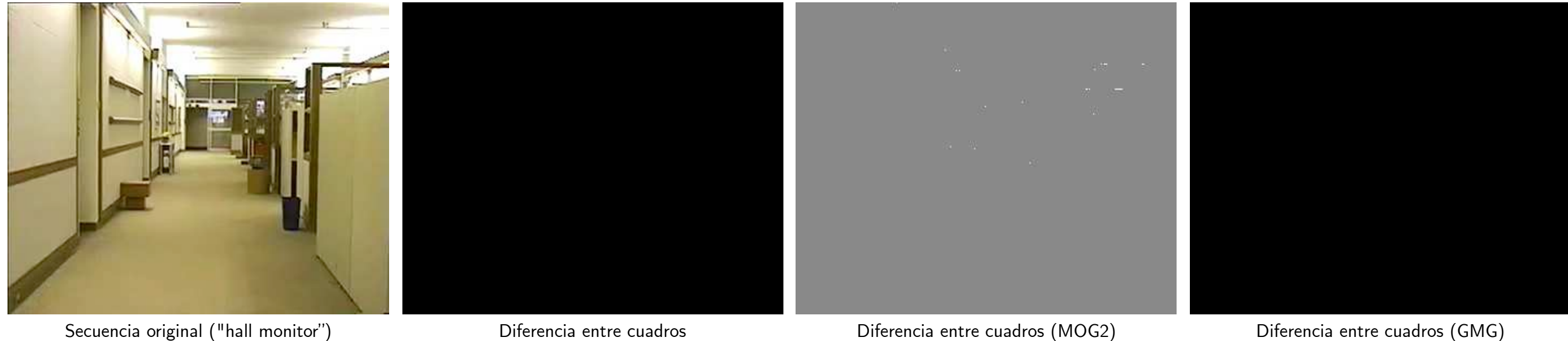
$$\text{SSIM}(x, y) = \frac{(2\mu_x\mu_y + c_1)(2\sigma_{xy} + c_2)}{(\mu_x^2 + \mu_y^2 + c_1)(\sigma_x^2 + \sigma_y^2 + c_2)}$$
$$\alpha = \beta = \gamma = 1$$

$$\text{MSSIM} = \frac{1}{M} \sum_{j=1}^M \text{SSIM}(x_j, y_j)$$

Background subtraction

Background subtraction

- Background subtraction o foreground detection.
- Técnica para la detección de objetos o estructuras que se mueven sobre un fondo estático o que varía *más lentamente*.
- Se crea un **modelo** del fondo y los objetos son **anomalías** (outliers) de ese modelo.
- Varias aplicaciones: video-vigilancia, interacción hombre-computadora, codificación de video con objetos (MPEG-4/H.264), monitoreo de tráfico, ...



Secuencia original ("hall monitor")

Diferencia entre cuadros

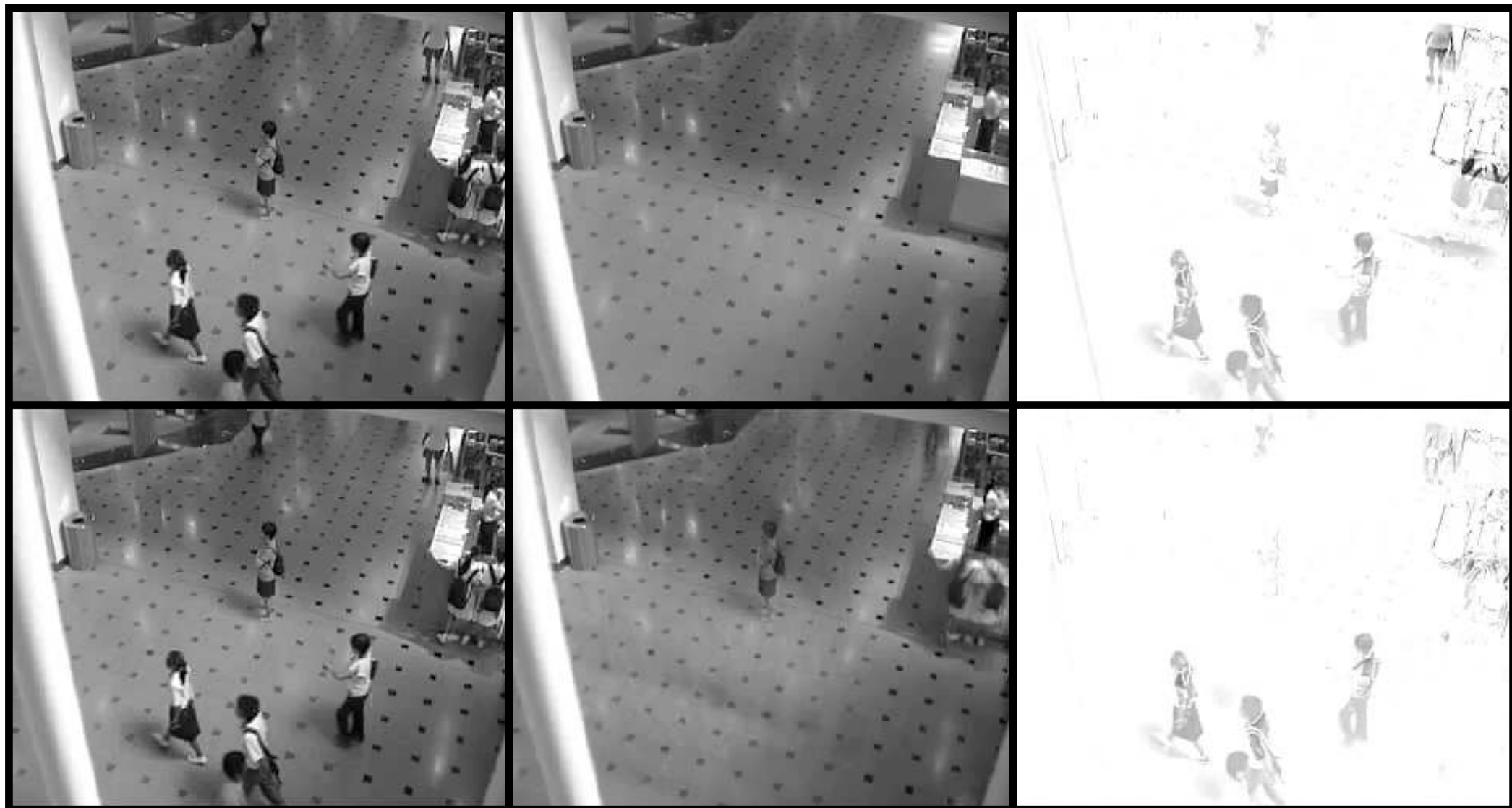
Diferencia entre cuadros (MOG2)

Diferencia entre cuadros (GMG)

Background subtraction

- Usualmente se toma la diferencia con el modelo de fondo B , ¿cómo aprender B ?
 - Promedio de los cuadros anteriores (pixel): $B(x, y, t) = \frac{1}{N} \sum_{i=1}^N I(x, y, t - i)$
 - Con un factor de olvido o *running average*:
$$B(x, y, t) = \alpha B(x, y, t - 1) + (1 - \alpha) I(x, y, t - 1) \quad \alpha \in (0, 1)$$
 - Aprender una distribución de probabilidad (modelo):
 - *running average* en una ventana:
$$\mu_t = \alpha I_t + (1 - \alpha) \mu_{t-1}, \sigma_t^2 = \alpha |I_t - \mu_t|^2 + (1 - \alpha) \sigma_{t-1}^2 \Rightarrow |I_t - \mu_t| \gtrsim k \sigma_t$$
 - ajuste de un mezcla de Gaussianas (MOG)
$$P(X_t) = \sum_{i=1}^K \omega_{i,t} N(X_t | \mu_{i,t}, \Sigma_{i,t}) \quad K?$$
 - ...
- Otros enfoques pueden ser no causales trabajando con todo el video
 - Principal Component Analysis
 - Ajuste modelo de bajo rango
 - Aprendizaje: diccionarios en modelos ralos

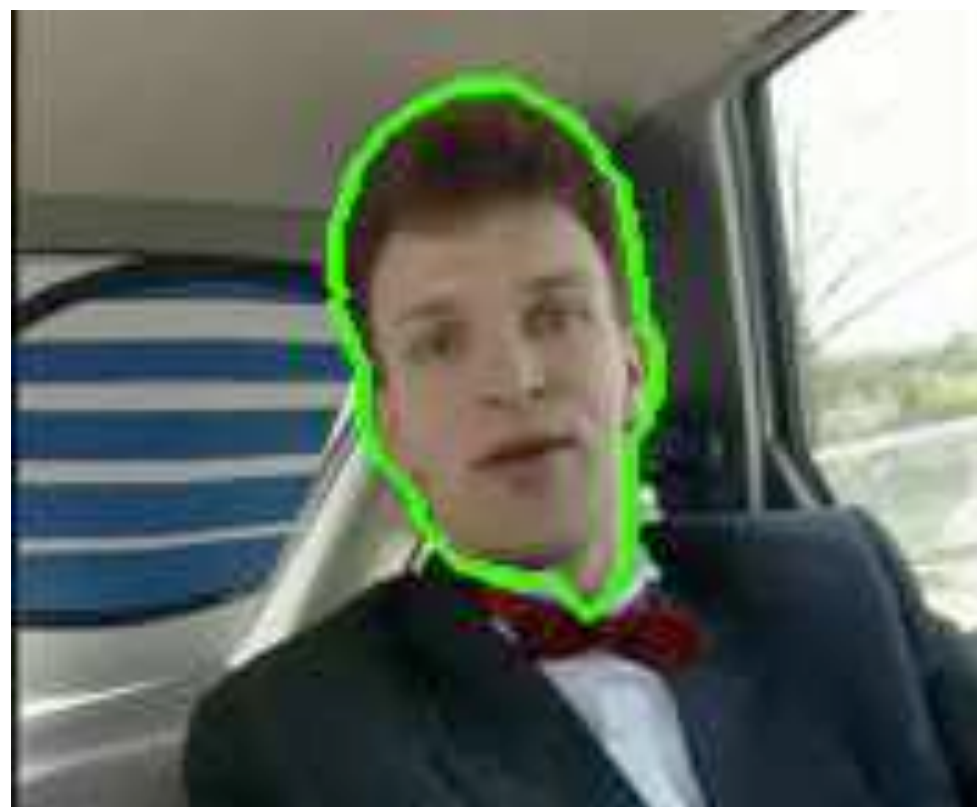
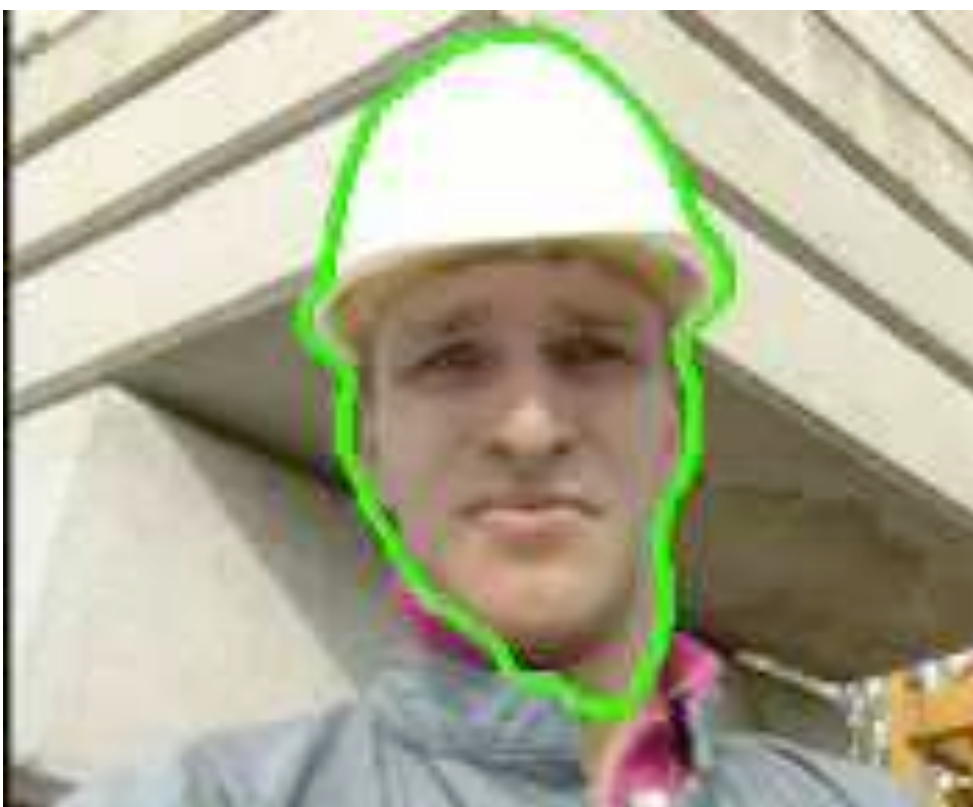
Background subtraction



Video de entrada

Fondo detectado y
aprendido

Objetos detectados



Herramientas para video

- OpenCV: algoritmos de *mayor nivel*
- FFmpeg (<https://www.ffmpeg.org/>)
 - (casi) todo lo que se pueda hacer de *bajo nivel*
 - Core de muchas aplicaciones (VLC, MPlayer, HandBrake, Blender, Google Chrome, Videomorph, QuickTime, ...)
 - Línea de comando

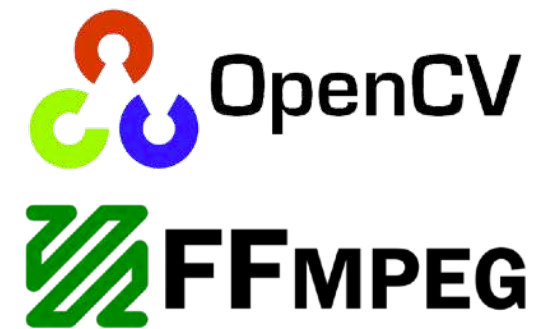
```
$ ffmpeg [global_options] {[input_file_options] -i input_url} ... {[output_file_options] output_url}

$ ffmpeg -i input.mov -o output.mp4

$ ffmpeg -i input.ts -c:a mp2 -c:v mpeg2video output.mp4
```

- *Familia* de programas: ffmpeg , ffserver (streaming server), ffplay (player), libavcodec (códigos), libavformat (mux/demux), libavutil (rutas comunes FFmpeg), libpostproc (postproc.), libswscale (escalado)
- ffmpy: python FFmpeg command line wrapper ([documentación](#))

```
>>> import ffmpy
>>> ff = FFmpeg(
...     inputs={'input.ts': None},
...     outputs={'output.mp4': '-c:a mp2 -c:v mpeg2video'}
... )
>>> ff.cmd # Ver la 'línea de comando' que se ejecuta
'ffmpeg -i input.ts -c:a mp2 -c:v mpeg2video output.mp4'
>>> ff.run()
```



Bibliografía

- Richardson, I.E., 2010. *The H.264 Advanced Video Compression Standard*, Wiley.
- Szeliski, R., 2010. *Computer Vision: Algorithms and Applications*, Springer Science & Business Media. (<http://szeliski.org/Book>)
- Fleet, D., & Weiss, Y. (2006). Optical flow estimation. In *Handbook of mathematical models in computer vision* (pp. 237-257). Springer, Boston, MA.
- Xu, Y., Dong, J., Zhang, B., & Xu, D. (2016). Background modeling methods in video analysis: A review and comparative evaluation. *CAAI Transactions on Intelligence Technology*, 1(1), 43-60.